

## СОДЕРЖАНИЕ

Перечень условных обозначений, символов и терминов .....	7
Введение.....	8
1 Особенности передачи информации по оптическим волокнам .....	10
1.1 Распространение света в оптических волокнах .....	10
1.1.1 Основные преимущества использования оптических волокон ....	10
1.1.2 Эффект полного внутреннего отражения света.....	11
1.1.3 Распространение света в ОВ с различным профилем показателя преломления .....	13
1.2 Основные характеристики оптических волокон.....	16
1.2.1 Основные характеристики оптических потерь ОВ .....	16
1.2.2 Основные характеристики искажений оптического сигнала .....	17
1.2.3 Методы компенсации дисперсии .....	21
1.2.4 Нелинейные эффекты в оптическом волокне .....	27
1.3 Классификация и характеристики промышленных оптических волокон.....	30
1.3.1 Основные классификационные параметры оптических волокон .	30
1.3.2 Классификация многомодовых оптических волокон.....	31
1.3.3 Классификация одномодовых оптических волокон.....	34
1.3.4 Характеристики промышленных оптических волокон.....	37
1.4 Выводы по разделу 1 .....	41
2 Методы несанкционированного вывода информации с боковой поверхности оптического волокна .....	43
2.1 Методы вывода информации без внесения локальной неоднородности.....	43
2.1.1 Реализуемые за счет концентрации рэлеевского рассеяния.....	43
2.1.2 Реализуемые за счет распределения связи двух оптических волокон .....	45
2.2 Методы вывода информации за счет созданной локальной неоднородности в оптических волокнах .....	47
2.2.1 Реализуемые посредством поперечного сжатия, температурного и акустического воздействия на оптические волокна .....	47

2.2.2 Реализуемые путем врезки оптического разветвителя .....	48
2.2.3 Реализуемые за счет макроизгиба оптического волокна .....	49
2.3 Выводы по разделу 2 .....	50
3 Разработка устройства обнаружения несанкционированного съема данных при передаче информации по волоконно-оптическому каналу связи .....	51
3.1 Принципы функционирования устройства .....	51
3.2 Структурная схема устройства .....	53
3.3 Выводы по разделу 3 .....	53
4 Охрана труда. Обеспечение безопасности при выполнении работ по строительству, монтажу и эксплуатации волоконно-оптических линий связи.....	54
5 Технико-экономическое обоснование разработки устройства и производства устройства обнаружения несанкционированного съема данных при передаче информации по волоконно-оптическому каналу связи.....	58
5.1 Характеристика устройства обнаружения несанкционированного съема данных при передаче информации по волоконно-оптическому каналу связи .....	58
5.2 Формирование отпускной цены .....	59
5.3 Расчет экономического эффекта от производства и реализации .....	xx
5.4 Расчет инвестиций в производство .....	xx
5.5 Расчет показателей экономической эффективности инвестиций в производство.....	xx
5.6 Вывод по результатам расчета	
Заключение .....	xx
Список использованных источников .....	xx
Ведомость документов .....	xx

## **ПЕРЕЧЕНЬ УСЛОВНЫХ ОБОЗНАЧЕНИЙ, СИМВОЛОВ И ТЕРМИНОВ**

ВОЛС	Волоконно-оптическая линия связи
ВОСП	Волоконно-оптические системы передачи
НСД	Несанкционированный доступ
ОВ	Оптическое волокно
ОУ	Оптический усилитель

## ВВЕДЕНИЕ

В современном мире, во время развития сетевых технологий, информационная безопасность играет важную роль в направлении развития передачи информации по волоконно-оптическим линиям связи. Обеспечение конфиденциальности данных, передаваемых по волоконно-оптическому каналу связи, можно отнести к одной из важнейших задач.

Считается, что ВОЛС, в силу особенностей распространения электромагнитной энергии в оптическом волокне, обладают повышенной скрытностью. Однако, всегда существует принципиальная возможность съема информации с оптического кабеля. Известно, что волокно представляет собой волноводную структуру, в которой оптическое излучение распространяется по закону полного внутреннего отражения. Тем не менее, даже после формирования стационарного распределения поля в волокне, небольшая часть рассеянного излучения все же проникает за пределы отражающей оболочки и может быть каналом утечки передаваемой информации. Распространяясь по оптоволокну, оптический сигнал теряет часть своей мощности, что происходит в силу процесса рассеяния излучения на неоднородностях и поглощения материалом оптоволокну. Потеря оптической мощности будет также наблюдаться при внешнем воздействии на оптическое волокно.

Задача несанкционированного вывода информации является довольно непростой, существует контактное и бесконтактное подключение.

С целью контактного подключения обычно злоумышленник удаляет защитные слои кабеля, стравливает свето-отражающую оболочку и изгибает оптический кабель под углом, необходимым для снятия информации. В таком случае, обнаружить утечку информации за счет ослабления мощности излучения считается затруднительной задачей, так как чувствительность существующих приемных устройств во время несанкционированного доступа обеспечивает съем информации при отборе всего 0,001% передаваемой мощности, а дополнительные потери при изгибе кабеля находятся в соответствующих пределах в зависимости от угла изгиба кабеля.

С целью бесконтактного подключения в волоконно-оптическую линию связи в качестве элемента съема светового сигнала злоумышленник обычно использует стеклянную трубку, заполненную жидкостью с высоким преломлением и с изогнутым концом, жестко фиксированную на оптическом кабеле, с которого предварительно снята экранная оболочка. К тому же, на отогнутом конце трубки злоумышленник устанавливает объектив, фокусирующий световой поток на фотодиод, уже с которого электрические

сигналы поступают на усилитель сигналов, усиливающий их до необходимого уровня.

Для несанкционированного съема информации к оптическому волокну могут быть подключены устройства, создающие в оптическом волокне неоднородность, вызванную сдавливанием, макроизгибом, температурным воздействием на оптоволокно. Существуют и другие способы получения с поверхности оптического волокна части излучения, однако, в сравнении с изгибом оптического волокна все они имеют ряд существенных недостатков, связанных с возможностью повреждения оптического волокна, величины ответвляемой мощности, минимальной длины оптоволокна.

В современном мире существует измерительное оборудование, в работе которого используется изгиб ОВ. Таким образом, используя уже имеющиеся технические средства или средства на их основе, имеется потенциальная возможность осуществления несанкционированного съема данных.

Исходя из всего вышесказанного можно сделать вывод, что в настоящее время задачи обеспечения конфиденциальности, целостности и доступности информации при передаче ее по волоконно-оптическим линиям связи является как никогда актуальной. С целью обнаружения несанкционированного съема данных при передаче информации по волоконно-оптическому каналу связи используются специальные устройства.

В связи с этим целью данной дипломной работы является исследование принципов работы и разработка структурной схемы устройства обнаружения несанкционированного съема данных при передаче информации по волоконно-оптическому каналу связи.

Задачи дипломной работы:

- изучение особенностей передачи информации по оптическим волокнам и методов несанкционированного вывода информации с боковой поверхности оптического волокна;
- разработка устройства обнаружения несанкционированного съема данных при передаче информации по волоконно-оптическому каналу связи;
- проведение технико-экономических обоснований исследования и разработки устройства обнаружения несанкционированного съема данных при передаче информации по волоконно-оптическому каналу связи.

# **1 ОСОБЕННОСТИ ПЕРЕДАЧИ ИНФОРМАЦИИ ПО ОПТИЧЕСКИМ ВОЛОКНАМ**

## **1.1 Распространение света в оптических волокнах**

### **1.1.1 Основные преимущества использования оптических волокон**

Оптическое волокно (оптоволокно) – это волновод с круглым поперечным сечением небольшого диаметра, по которому передается электромагнитное излучение оптического диапазона [1].

К основным преимуществам использования оптоволоконного кабеля, во-первых, относятся высокая пропускная способность и скорость передачи информации на единицу оптоволокна.

Во-вторых, в сравнении с медным проводом эквивалентной длины, использование оптоволоконного кабеля обойдется дешевле по стоимости. Высокая скорость передачи данных делает стоимость одного передаваемого по оптоволоконной сети бита данных очень низкой.

В-третьих, оптоволокно является меньшим по толщине и весу, чем сопоставимый медный кабель. Следовательно, оптоволоконный кабель можно вытянуть на меньший диаметр и использовать для мест с требованием большого количества пространства.

В-четвертых, потеря сигнала при условии использования оптических волокон меньше, чем при использовании медного провода. Также оптоволокно имеет малое погонное затухание. Благодаря такому свойству, возможна реализация протяженных высокоскоростных систем передачи данных.

В-пятых, по оптоволоконному кабелю передаются световые сигналы, которые в свою очередь никак не влияют на сигналы остальных волокон в этом же оптоволоконном кабеле, в отличие от используемых в медном кабеле электрических сигналов.

К тому же, так как никакие виды электромагнитных помех не влияют на качество передачи информации в оптоволокне, то оно может располагаться вблизи мощных источников электромагнитных помех.

Следующим важным преимуществом оптоволоконного кабеля является долгий срок службы, который составляет более 100 лет. Также возможность передавать информацию на огромные дистанции с обеспечением ее безопасности, обусловленной оптическим шифрованием и фактическим отсутствием электромагнитного сигнала.

С точки зрения безопасности оптоволокно является диэлектриком и не проводит ток, его использование безопасно по искро- и пожаробезопасности. К тому же, оптоволокно не способно притягивать молнии и может быть использовано в местах особой опасности, где из соображений безопасности кабель не предусматривается вовсе.

Также можно отметить такой пункт как секретность, так как оптическое волокно является сверхбезопасной средой для передачи информации. Оно не излучает волны, которые могут быть получены близкорасположенной антенной.

Широкая полоса пропускания, низкие потери и невосприимчивость к электромагнитным полям характерны для волоконной оптики. Эти особенности органично согласовываются, позволяя передавать данные с высокой скоростью на большие дистанции и с небольшим числом ошибок. Однако, важность каждого из этих преимуществ зависит от конкретного применения.

### 1.1.2 Эффект полного внутреннего отражения света

Оптическое волокно имеет два слоя - ядро (сердцевина) и оптическая оболочка. Внутреннее ядро предназначено для переноса света. Окружающая его оптическая оболочка имеет отличный от ядра показатель преломления и обеспечивает полное внутреннее отражение света в ядро. Показатель преломления оптической оболочки менее чем на 1 % меньше показателя преломления ядра. Характерные величины показателей преломления – 1.47 для ядра и 1.46 – для оптической оболочки.

Волокна имеют дополнительную защитную оболочку вокруг оптической оболочки. Защитная оболочка, представляющая собой один или несколько слоев полимера, предохраняет ядро и оптическую оболочку от воздействий, которые могут повлиять на их оптические свойства. Защитная оболочка не влияет на процесс распространения света по волокну, а всего лишь предохраняет от ударов.

При передаче информации по оптоволоконному каналу происходит преобразование единиц и нулей двоичного сигнала в наличие или отсутствие светового потока (сигнала). Данный световой поток должен оставаться внутри оптического волокна до момента, пока не достигнет его второго конца, также он не должен проникать в оптическую оболочку оптоволокна. В случае проникновения света в оболочку, будет вызвана потеря мощности, следовательно, затухание сигнала.

Данные особенности учитываются при изготовлении оптических волокон. Внешняя поверхность изготавливается близкой по характеристикам к зеркалу для отражения распространяющихся в нем световых лучей. При условии полного отражения падающего луча по направлению к другому концу оптоволокна, можно говорить об оптимальном волноводе для передачи световых волн. Эффект полного внутреннего отражения представлен на рисунке 1.1.

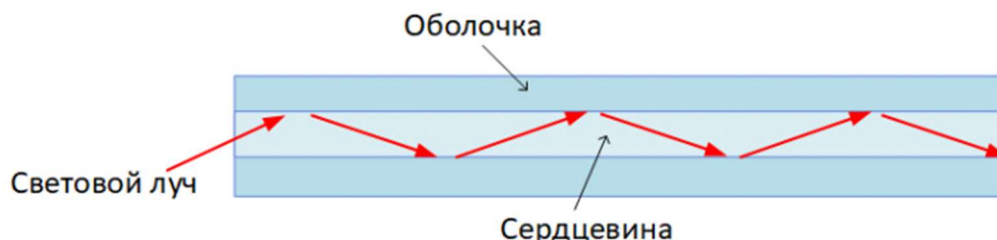


Рисунок 1.1 – Эффект полного внутреннего отражения в оптоволокне

Свет заводится внутрь волокна под углом, большим критического, к границе ядро/оптическая оболочка и испытывает полное внутреннее отражение на этой границе. Поскольку углы падения и отражения совпадают, то свет и в дальнейшем будет отражаться от границы. Таким образом, луч света будет двигаться зигзагообразно вдоль волокна.

Свет, падающий на границу под углом, меньшим критического, будет проникать в оптическую оболочку и затухать по мере распространения в ней. Оптическая оболочка обычно не предназначена для переноса света, и свет в ней достаточно быстро затухает.

Таким образом, благодаря законам отражения и преломления в современном мире существует возможность изготовления оптического волокна для передачи световых лучей с минимальными потерями энергии. Для того, чтобы в оптическом волокне происходило полное отражение световых лучей без потерь, необходимо создать условия, при которых оболочка оптического волокна имеет меньший коэффициент чем сердцевина, также угол падения световых лучей на границу между оболочкой и сердцевиной должен быть больше критического угла. При соблюдении таких требований все падающие лучи света будут отражаться внутри оптоволокна. Данный эффект называется полным внутренним отражением и является базой производства оптических волокон.

Эффект полного внутреннего отражения заставляет световые лучи в оптоволокне проходить путь до второго конца, отражаясь от границы с сердцевиной.



### 1.1.3 Распространение света в ОВ с различным профилем показателя преломления

Профиль индекса(показателя) преломления отображает соотношение между индексами ядра и оптической оболочки. Существуют два основных вида профиля: ступенчатый и сглаженный (градиентный).

Волокно со ступенчатым профилем имеет ядро с однородным показателем преломления. При этом показатель преломления испытывает резкий скачок на границе между ядром и оптической оболочкой. Напротив, в случае сглаженного профиля показатель преломления ядра не является однородным: показатель максимален в центре и постепенно спадает вплоть до оптической оболочки. Кроме того, на границе между ядром и оптической оболочкой отсутствует резкий скачок показателя преломления.

В соответствии с данной классификацией существует три вида оптических волокон:

- многомодовое волокно со ступенчатым индексом (обычно называемое волокном со ступенчатым индексом);
- многомодовое волокно со сглаженным индексом (волокно со сглаженным индексом);
- одномодовое волокно со ступенчатым индексом (одномодовое волокно).

Многомодовое волокно со ступенчатым индексом – наиболее простой тип волокон. Оно имеет ядро диаметром от 100 до 970 микрон и может быть, чисто стеклянным, PCS, или пластик. Данный тип волокна является наиболее распространенным, хотя и не обеспечивает максимальную полосу пропускания и минимальные потери.

Поскольку свет испытывает отражение под разными углами на разных траекториях (в различных модах), длина пути, соответствующая различным модам, также отличается. Таким образом, различные лучи затрачивают меньше или больше времени на прохождение одной и той же длины волокна. Лучи, которые движутся вдоль центральной оси ядра без отражений, достигают противоположного конца волокна первыми. Косые лучи появляются позднее. Свет, попадающий в волокно в одно и то же время, достигает противоположного конца в различные моменты времени. Световой импульс расплывается во времени.

Это расплывание называется модовой дисперсией. Импульс света, который имел первоначально узкий, строго определенный профиль, в дальнейшем расширяется во времени. Дисперсия может быть обусловлена

несколькими причинами. Модовая дисперсия возникает в результате различных длин траекторий, соответствующих различным модам волокна.

Типичное значение модовой дисперсии для волокна со ступенчатым профилем показателя преломления составляет от 15 до 30 наносекунд за один километр. Это означает, что лучи света, попадая в волокно одновременно, достигают противоположного конца волокна длиной в один километр с интервалом от 15 до 30 наносекунд. При этом первыми приходят лучи, двигающиеся вдоль центральной оси.

Одна из возможностей уменьшения модовой дисперсии – использование сглаженного профиля показателя преломления. В этом случае ядро состоит из большого числа концентрических колец, похожих на годовые кольца дерева. При удалении от центральной оси ядра показатель преломления каждого слоя снижается.

Свет движется быстрее по среде с меньшим показателем преломления. Поэтому чем дальше расположена траектория светового луча от центра, тем быстрее он движется. Каждый слой ядра отражает свет. В отличие от ситуации со ступенчатым профилем показателя преломления, когда свет отражается от резкой границы между ядром и оптической оболочкой, здесь свет постоянно и более плавно испытывает отражение от каждого слоя ядра. При этом его траектория отклоняется к центру и становится похожей на синусоидальную. Лучи, которые проходят более длинные дистанции, делают это большей частью по участкам с меньшим показателем преломления, двигаясь при этом быстрее. Свет, распространяющийся вдоль центральной оси, проходит наименьшую дистанцию, но с минимальной скоростью. В итоге все лучи достигают противоположного конца волокна одновременно. Использование сглаженного профиля показателя преломления приводит к уменьшению дисперсии до 1 н сек/км и менее.

Популярные виды данного типа волокон имеют диаметры ядер 50, 62.5 и 85 микрон, а диаметр оптической оболочки 125 микрон. Эти волокна используются там, где требуется широкие полосы пропускания, в частности, в передаче телевизионного сигнала, локальных сетях, компьютерах и т.д. Волокно 62.5/125 является наиболее популярным и широко распространенным.

Другой путь уменьшения модовой дисперсии заключается в уменьшении диаметра ядра до тех пор, пока волокно не станет эффективно передавать только одну моду. Одномодовое волокно имеет чрезвычайно малый диаметр – от 5 до 10 микрон. Стандартный диаметр переходного слоя составляет 125 микрон и выбран, исходя из следующих соображений:

1 Оптическая оболочка должна быть в 10 раз толще, чем ядро одномодового волокна. Для ядра в 8 мкм она должна быть не менее 80 мкм.

2 Данный размер совпадает с размером оптической оболочки для волокна со ступенчатым профилем показателя преломления, что обеспечивает стандартизацию размеров волокон.

3 Данный выбор облегчает монтажные работы, так как делает волокно менее хрупким, а его диаметр достаточно большим, что позволяет обрабатывать волокно вручную.

Поскольку данное волокно переносит только одну моду, модовая дисперсия в нем отсутствует.

Одномодовое волокно позволяет легко достичь ширины полосы пропускания от 50 до 100 ГГц-км. В настоящее время волокна имеют полосы пропускания в несколько гигагерц и позволяют передавать сигнал на десятки километров.

Граничные значения параметров, начиная с которых волокно работает в одномодовом режиме, зависят от длины волны несущего света. Пусть длина волны 820 нм соответствует многомодовому режиму работы волокна. По мере роста длины волны света все меньшее количество мод выживает, пока не остается только одна. Одномодовый режим работы волокна начинается, когда длина волны света приближается к диаметру ядра. При 1300 нм, например, в волокне остается только одна мода и волокно становится одномодовым.

В зависимости от конструкции различные виды волокон имеют специфические длины волн, называемые, пороговыми длинами. Излучение с длиной волны, превосходящей пороговую длину, распространяется в одномодовом режиме. Волокно, предназначенное для работы в одномодовом режиме на длине волны в 1300 нм, имеет пороговую длину около 1200 нм.

Принцип работы одномодового волокна ненамного сложнее обычного распространения луча вдоль ядра. Использование геометрической оптики для описания работы данного вида волокна не совсем корректно, так как в данном подходе не учитывается распределение электромагнитной энергии внутри волокна. Некоторая часть электромагнитного излучения переносится в оптической оболочке. Кроме того, диаметр светового пучка, вводимого в волокно, превышает диаметр его ядра. Для определения поперечного размера светового пятна в волокне используется термин – диаметр модового поля. В отличие от многомодового, в одномодовом волокне излучение присутствует не только внутри ядра. Поэтому диаметр модового поля лучше характеризует излучение, чем диаметр ядра.

В одномодовом волокне излучение переносится не только внутри ядра, но и в оптической оболочке, в связи с этим возникает дополнительное

требование к эффективности переноса энергии в этом слое. В многомодовом волокне прозрачность оптической оболочки практически не имеет никакого значения. Действительно, в этом случае возникновение мод в оптической оболочке является даже нежелательным, поэтому требования к ее прозрачности достаточно умерены. Для одномодового волокна это утверждение будет неверно.

## 1.2 Основные характеристики оптических волокон

### 1.2.1 Основные характеристики оптических потерь ОВ

Затухание и дисперсия являются важнейшими параметрами, характеризующими волокно. Таким образом, чем меньше затухание (потери) и чем меньше дисперсия распространяющегося в волокне сигнала, тем больше может быть расстояние между регенерационными участками или повторителями. Затуханием называется потеря оптической мощности по мере движения света по волокну [2].

Затухание в оптическом волокне выражается в децибелах (дБ). Коэффициент затухания в оптоволокне – это величина затухания, приходящаяся на единицу длины волокна, и выражается в децибелах/километр.

Факторы, влияющие на затухание:

- потери на рассеяние;
- потери на поглощение в материале волокна;
- поглощение на примесях;
- кабельные потери.

К собственным потерям относятся потери на рассеяние и поглощение, в то время как к дополнительным потерям относятся кабельные потери.

Полное затухание в волокне определяется по формуле 1.1.

$$\alpha = \alpha_{\text{соб}} + \alpha_{\text{каб}} = \alpha_{\text{рр}} + \alpha_{\text{пм}} + \alpha_{\text{пр}} + \alpha_{\text{каб}}, \quad (1.1)$$

где  $\alpha_{\text{соб}}$  – собственные потери;

$\alpha_{\text{каб}}$  – кабельные потери;

$\alpha_{\text{рр}}$  – потери на рассеяние;

$\alpha_{\text{пм}}$  – потери на поглощение в материале волокна;

$\alpha_{\text{пр}}$  – поглощение на примесях.

Рэлеевское рассеяние обусловлено рассеянием света на случайных изменениях плотности, которые были вызваны процессом изготовления. В

идеальном состоянии чистое стекло имеет молекулярную структуру и однородную плотность. В действительности же плотность стекла не является однородной. Следовательно, на неоднородностях происходит рассеяние во всех направлениях, часть его теряется в оболочке.

Потери по причине рэлеевского рассеяния зависят от длины волны по закону  $\lambda^{-4}$  ( $\lambda$  – длина волны), следовательно в области коротких волн они проявляются сильнее.

Поглощение в материале волокна обусловлено свойствами материала и рабочей длиной волны. Собственные потери на поглощение растут в инфракрасной области. При  $\lambda > 1,8$  мкм обычное кварцевое оптоволокно становится непрозрачным, что ограничивает верхнюю длину волны пропускания.

Основным материалом для изготовления оптоволокна является кварц. Следующим видом потерь является поглощение примесями в кварце. Примесные центры в зависимости от типа примеси поглощают свет на определенных, присущих каждой примеси, длинах волн. Современные технологии производства оптоволокна позволяют поддерживать концентрацию примесей на таком уровне, данная проблема не столь важна.

Во время строительства и эксплуатации оптических кабельных линий возможно появление эксплуатационных потерь, которые обусловлены скруткой, деформацией и изгибами волокон, возникающих при наложении покрытий и защитных оболочек при производстве и прокладке кабеля.

Потери на микроизгибах обусловлены преобразованием направляемых мод в моды излучения. Они резко возрастают и становятся недопустимо большими, как только радиус изгиба уменьшается до критического значения, которое для типичных оптических волокон несколько сантиметров. При этом свет покидает волокно.

### 1.2.2 Основные характеристики искажений оптического сигнала

Оптический сигнал, распространяясь по волокну, затухает и искажается за счёт естественной дисперсии различного рода (линейные искажения), которая вызывает уширение импульсов во времени, а также нелинейные эффекты, основные из которых обусловлены нелинейным преломлением и генерацией гармоник (нелинейные искажения).

Дисперсия – это зависимость фазовой скорости световых волн от частоты. Это же относится к показателю преломления. Величина дисперсии определяется по формуле 1.2.

$$\left| \frac{dn}{d\omega} \right| \text{ или } \left| \frac{dn}{d\lambda} \right|, \quad (1.2)$$

где  $n$  – показатель преломления;

$\omega$  – частота;

$\lambda$  – длина волны.

В таком случае дисперсия в объемной среде называется хроматической, что говорит о разложении света на его составляющие в цветовом спектре. Дисперсия называется нормальной (положительной), если  $n$  увеличивается с увеличением частоты  $\omega$  ( $\frac{dn}{d\omega} > 0$ ) и аномальной (отрицательной), если  $n$  уменьшается с увеличением  $\omega$  ( $\frac{dn}{d\omega} < 0$ ). Для нормальной и аномальной дисперсии зависимость фазовой скорости от частоты или от длины волны является обратной.

При прохождении импульсных сигналов под воздействием дисперсии происходит уширение импульса. Данное воздействие дисперсии на сигнал показано на рисунке 1.2.

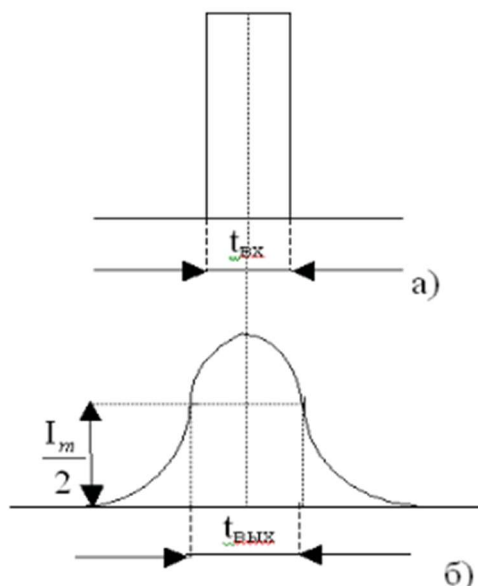


Рисунок 1.2 – Уширение импульса под воздействием дисперсии

Уширение импульсов  $\tau$  определяется как квадратичная разность длительности импульсов на входе и выходе волновода длиной  $l_m$ , определяемой на половине высоты импульса, по формуле 1.3. Дисперсия измеряется в пикосекундах на километр.

$$\tau = \sqrt{t_{\text{вых}}^2 - t_{\text{вх}}^2}, \quad (1.3)$$

где  $t_{\text{вых}}$  – длительность импульса на выходе;

$t_{\text{вх}}$  – длительность импульса на входе.

Уширение импульса определяет полосу частот передаваемого сигнала  $\Delta F$ , формула 1.4.

$$\Delta F \approx \tau^{-1}, \quad (1.4)$$

где  $\tau$  – уширение импульсов.

Чем меньше значение дисперсии, тем больший поток информации можно передать по волокну. Дисперсия ограничивает длину регенерационного участка, так как уширение импульса пропорционально длине линии. В конечном итоге может возникнуть ситуация, когда соседние импульсы перекрывают друг друга.

Выделяют три основных вида дисперсии:

- модовая дисперсия;
- материальная дисперсия;
- волноводная дисперсия.

Модовая дисперсия существует только в многомодовом волокне и вызывается различной скоростью распространения в волноводе лучей разных мод, которые достигают выхода в разное время, что приводит к уширению входного импульса.

Материальная дисперсия является дисперсией материала волновода. Она не зависит от типа волокна и отличается от хроматической дисперсии тем, что она соответствует волноводной, а не объемной среде.

Волноводная дисперсия существует в волноводной среде, которая была сформирована минимум двумя средами, в случае оптоволокна, сердцевиной и оболочкой.

Два способа уменьшения модовой дисперсии:

- уменьшение диаметра сердцевины;
- изменение профиля показателя преломления, то есть использование многомодового волокна с плавно изменяемым показателем преломления.

Материальная дисперсия зависит (для прозрачного материала) от частоты  $\omega$  (или длины волны  $\lambda$ ) и материала оптоволокна, в качестве которого используется кварцевое стекло. Такой вид дисперсии определяется электромагнитным взаимодействием волны со связанными электронами материала среды, которое носит, как правило, нелинейный (резонансный) характер и только вдали от резонансов может быть описано с приемлемой точностью, например, уравнением Селлмейера, формулой 1.5.

$$n^2(\omega) = 1 + \frac{\sum R_j \omega_j^2}{\omega_j^2 - \omega^2}, \quad (1.5)$$

где  $\omega_j$  – резонансные частоты,

$R_j$  – величина  $j$ -го резонанса.

Возникновение дисперсии в материале оптического волновода обусловлено тем, что оптический источник, возбуждающий вход (светоизлучающий диод или лазерный диод), формирует световые импульсы, имеющие непрерывный волновой спектр определенной ширины. Различные спектральные компоненты импульса распространяются с разными скоростями и приходят в определенную точку (фазу формирования огибающей импульса) в разное время, приводя к уширению импульса на выходе и, при определенных условиях, к искажению его формы.

Для описания дисперсии в волноводе используется разложение постоянной распространения моды  $\beta$  в ряд Тейлора в окрестности несущей частоты  $\omega_0$ . Линейный член этого разложения, или параметр  $\beta_1$ , характеризует групповую скорость движения огибающей импульса –  $V_g = c/n_g$  (где  $n_g$  – групповой показатель преломления), а квадратичный член, или параметр  $\beta_2$  характеризует собственно дисперсию групповых скоростей в волокне, имеющую размерность  $[\text{пс}^2/\text{км}]$ . Она и определяет уширение импульса. Можно отметить, что в диапазоне длин волн 500-1600 нм  $\beta_2$  почти линейно уменьшается от +70 до -40  $[\text{пс}^2/\text{км}]$ , принимая нулевое значение на длине волны примерно 1270 нм. Эта длина волны  $\lambda_{0d}$  называется длиной волны нулевой дисперсии для объемной среды. Для оптоволокна эта длина волны сдвигается до значения порядка 1312 нм, чем и объясняется использование источников излучения 1310 нм для одномодового оптоволокна. Для одномодового кварцевого волокна дисперсия групповых скоростей положительна для  $\lambda < 1312$  нм и отрицательна для  $\lambda > 1312$  нм, а в окрестности  $\lambda = 1312$  нм она нулевая.

Для уменьшения материальной дисперсии нужно, с одной стороны, переходить при выборе источников к лазерным диодам, а при выборе волокна предпочтение отдавать одномодовому волокну. С другой стороны, необходимо переходить от источников с длинами волн порядка 850 нм к длинам волн порядка 1310 нм для использования эффекта нулевой дисперсии.

Волноводная дисперсия отличается от дисперсии объемной среды наличием волноводной структуры, изменяющей эффективный показатель преломления моды. В результате появляется особая волноводная составляющая дисперсии, которая складывается определенным образом с дисперсией материала, формируя результирующую дисперсию. Вклад волноводной дисперсии зависит от радиуса сердцевинки, разности показателей преломления сердцевинки и оболочки и числа оболочек. Для описания дисперсии с учетом ее волноводной составляющей вместо параметра  $\beta_2$  используется дисперсионный параметр  $D$ , по формуле 1.6:



$$D = -2\pi c\beta_2/\lambda^2, \quad (1.6)$$

Действие волноводной составляющей дисперсии сдвигает длину волны нулевой дисперсии до величины  $\lambda_{0д} = 1312$  нм. Этот факт используется при выборе длины волны источника (1310 нм) для работы с одномодовыми ОВ. Используя несколько слоев оболочки и тем самым изменяя параметры волноводного тракта, можно сдвинуть длину волны нулевой дисперсии в диапазон 1500-1600 нм. Для этого оказалось достаточным использовать две оболочки (рис.1.3, кривая 2) – этот тип оптоволокна получил название оптоволокна со сдвигом дисперсии. Используя многослойную оболочку (рис. 1.3, кривая 3 – оболочка имеет 4 слоя), можно добиться почти плоской и близкой к нулевой дисперсионной характеристики ( $|D| \leq 1-6$  пс/км/нм) в диапазоне длин волн от 1300 до 1650 нм. Так появилось волокно с ненулевой (и маломеняющейся) дисперсией.

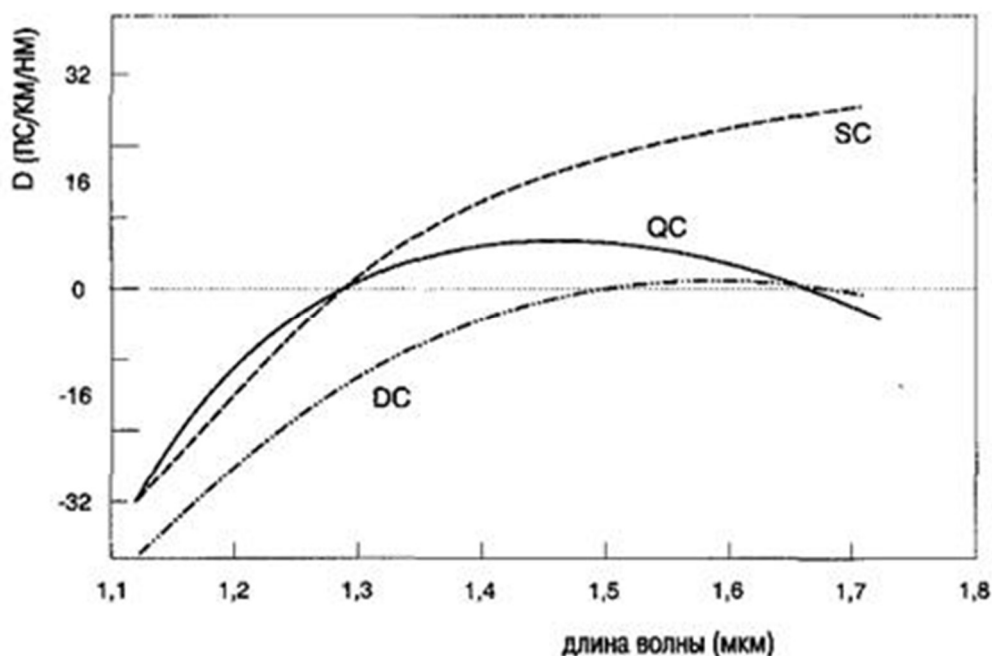


Рисунок 1.3 – Зависимость дисперсионного параметра волокна  $D$  от длины волны и числа оболочек: SC - одна оболочка, DC - две оболочки, QC - четыре оболочки

### 1.2.3 Методы компенсации дисперсии

Методы компенсации разделяют на широкополосные и узкополосные. Узкополосные методы обычно ограничены одним оптическим каналом, и компенсация осуществляется только на одной оптической несущей станции. Широкополосные методы обеспечивают компенсацию в некоторой полосе длин волн на линии [3].

Методы компенсации разделяются так же на методы с фиксированной (нерегулируемой), с перестраиваемой (регулируемой) и с адаптивной (с динамическим управлением) компенсацией. При фиксированной компенсации фазовые спектральные характеристики используемых устройств не регулируются. Если же параметры фазовых характеристик компенсаторов можно регулировать по величине и длине волны, то такую регулировку относят к методам с перестраиваемой компенсацией. Перестраивают характеристики компенсаторов или на месте их установки, или дистанционно. При адаптивной компенсации обязательно используется обратная связь, которая необходима для формирования (на основе результатов измерений дисперсионных искажений в линии) сигналов управления устройством компенсации с регулируемой фазовой характеристикой.

В зависимости от области применения различают оптические и электронные методы. Оптические методы, как правило, – широкополосные. Электронные методы только узкополосные. Наибольшее распространение получили следующие методы компенсации дисперсии:

- пространственная компенсация с помощью волокна с отрицательной дисперсией;
- компенсация с помощью дискретных рамановских усилителей;
- компенсация дисперсии на модах высшего порядка;
- инверсия спектра в середине линии (обращение волнового фронта);
- динамическая компенсация с помощью управляющей электроники;
- компенсирующие устройства на основе Брэгговской решётки или интерферометра.

Компенсация с помощью включения волокна с отрицательной дисперсией. Один из наиболее распространенных способов компенсации хроматической дисперсии на регенерационном участке - включение по концам усилительных участков (УУ) модулей компенсации дисперсии с компенсирующими оптическими волокнами. Последовательно оптическому волокну линии передачи включают компенсирующее волокно, дисперсия которого имеет противоположный знак. Параметры оптического волокна выбираются так, чтобы обеспечить компенсацию дисперсии во всем рабочем диапазоне длин волн.

К достоинствам модулей компенсации дисперсии с оптическим волокном с двойным покрытием следует отнести простоту установки и компактность, эффективность использования при реконструкции линии, относительно широкий рабочий спектральный диапазон. Сегодня на рынке представлен большой выбор вариантов исполнения модулей компенсации с оптическим волокном с двойным покрытием для работы с оптическими

волокнами различного типа в различных диапазонах. Модуль компенсации включается в линейный тракт как дополнительный элемент и, соответственно, вносит дополнительные потери, помехи и искажения. При типичной длине компенсирующего оптического волокна в модуле 5-10 км, включение каждого модуля увеличивает потери в линейном тракте на 5-6 дБ.

Поскольку модуль компенсации вносит значительные дополнительные потери, оптическое волокно нельзя включать на выходе усилительного участка до предварительного усилителя. Его нельзя включать так же и на выходе линейного оптического усилителя, так как из-за малой площади эффективного сечения оптического волокна высокий уровень оптической мощности приведет к существенному росту нелинейных помех. По этой причине оптическое волокно с двойным покрытием (DCF) включается между каскадами оптических усилителей – между предусилителем и выходным усилителем, как представлено на рисунке 1.4.



Рисунок 1.4 – Включение компенсирующего оптического волокна между усилителями

Компенсация с помощью дискретных рамановских усилителей. Интересным решением представляется применение для компенсации хроматической дисперсии дискретных рамановских усилителей. Для таких оптических усилителей в качестве среды распространения используются уложенные в бухты длины ОВ с повышенной нелинейностью. Оптическое волокно с двойным покрытием является идеальной средой распространения для дискретного рамановского усилителя. Малая площадь эффективного

сечения и высокая концентрация легирующих добавок обеспечивают приемлемую эффективность рамановского усиления. При этом требуется малая длина DCF – всего несколько километров. Применение DCF в дискретных рамановских оптических усилителях обеспечивает эффективное усиление с компенсацией хроматической дисперсии. Эти усилители называют дискретными компенсирующими рамановскими усилителями – DCRA (Dispersion Compensating Raman Amplifier). Их принцип работы поясняется на рисунке 1.5.

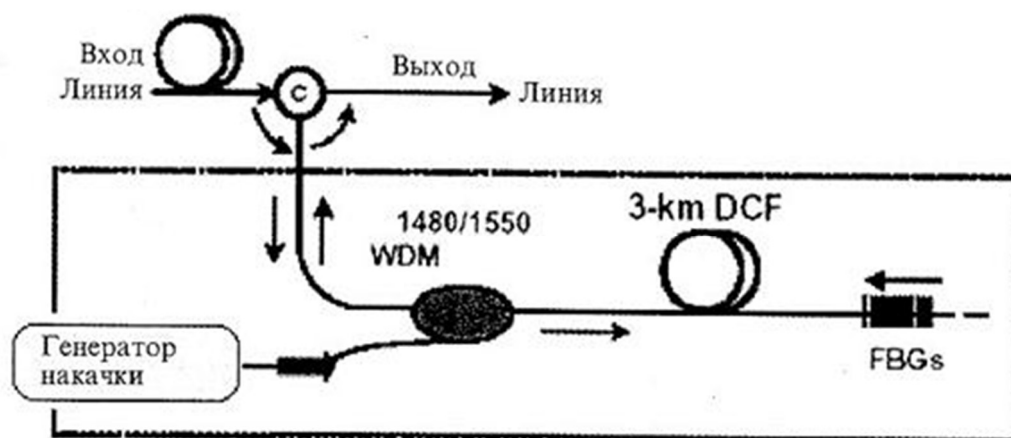


Рисунок 1.5 – Принцип работы дискретных рамановских усилителей

Компенсация с помощью фотонно-кристаллических волокон. В последние годы активно разрабатываются и развиваются технологии производства микроструктурированных оптических волокон. Эти технологии позволяют реализовать оптические волокна с такими характеристиками в заданном диапазоне длин волн, которые невозможно достичь в ОВ традиционной конструкции. Изменяя диаметры отверстий и их расположение, можно в очень широких пределах варьировать характеристики фотонно-кристаллического волокна (ФКВ). В частности, известны разработки с очень большой отрицательной дисперсией (до  $-1700$  пс/(нм·км) на длине волны 1550 нм), и при этом с малыми потерями и увеличенной площадью эффективного сечения (пониженной нелинейностью).

Такие микроструктурированные оптические волокна имеют хорошие перспективы применения в компенсирующих модулях. Получены ФКВ с большой отрицательной дисперсией и повышенной нелинейностью, что определяет эффективность их применения в компенсирующих устройствах. Необходимая длина такого микроструктурированного ОВ при том же коэффициенте усиления более чем на порядок меньше, чем стандартного кварцевого оптического волокна. Более широкие перспективы открывают возможности управления параметрами и, соответственно, построения на их основе волоконно-оптических устройств с регулируемыми характеристиками.

Компенсация дисперсии на модах высшего порядка. Еще один способ, обеспечивающий снижение дополнительных потерь и влияния нелинейных эффектов, вносимых модулем компенсации хроматической дисперсии – компенсация дисперсии на модах высшего порядка. Известно, что параметр хроматической дисперсии мод высшего порядка по абсолютной величине существенно больше, чем у основной моды. Это позволяет обеспечивать широкополосную компенсацию на всех длинах волн рабочего диапазона при существенно меньших длинах компенсирующего волокна. При этом площадь

эффективного сечения для моды более высокого порядка больше, что обеспечивает снижение нелинейных эффектов и затухания в ОВ. Принцип реализации метода поясняет рисунок 1.6.

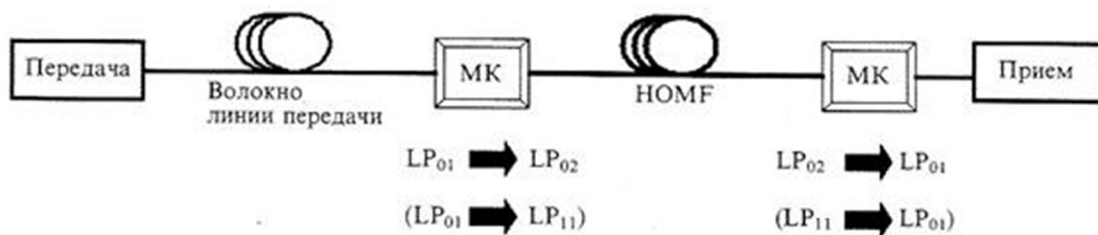


Рисунок 1.6 – Компенсации дисперсии на модах высшего порядка

Распространяющаяся в линии основная мода ( $LP_{01}$ ) поступает на модовый конвертор, который преобразует ее в моду более высокого порядка  $LP_{02}$  или  $LP_{11}$ . Конструкция специального оптического волокна для передачи моды высшего порядка (high order mode fiber - НОМФ) выполнена так, чтобы обеспечить наилучшие условия для ее распространения и подавить основную моду. На выходе НОМФ мода высшего порядка преобразуется модовым конвертором в основную моду и восстановленный сигнал передается дальше в линию.

Метод инверсии спектральной фазовой характеристики передаваемого сигнала. Инвертор спектральной фазовой характеристики включается в регенерационный участок строго посередине. Принцип работы метода поясняется на рисунке 1.7. Составляющие спектра передаваемого сигнала первую половину длины участка проходят с одной скоростью, а вторую – с другой, что обеспечивает выравнивание времени распространения спектральных составляющих сигнала на участке.

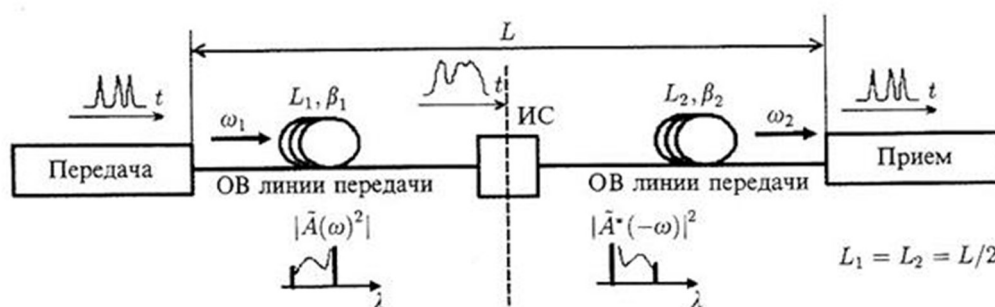


Рисунок 1.7 – Метод инверсии спектральной характеристики

Перестраиваемая компенсация хроматической дисперсии. Общий недостаток перечисленных выше методов компенсации обусловлен большими значениями накапливаемой дисперсии, разбросом характеристик устройств,

длин и параметров волокна, температурной нестабильностью, повышенной ПМД.

Методы с фиксированной компенсацией могут обеспечить лишь "грубое" подавление дисперсионных искажений. Для более глубокой компенсации необходима "привязка к месту", что требует дополнительно применения перестраиваемых компенсаторов. Большинство методов с перестраиваемой компенсацией базируются на применении оптических фильтров различного типа. Это – фильтры на основе интерферометра Жире-Турнуа, интерферометра Маха-Цандера, тонкопленочных технологий, а также брегговских дифракционных решеток.

Компенсаторы дисперсии на основе волоконных брегговских решеток благодаря своей конструкции наилучшим образом согласуются с волокном линии передачи. Требуемые значения дисперсии и наклона ее спектральной характеристики обеспечивается путем применения брегговских дифракционных решеток с переменным периодом. Согласованием резонансных частот решетки с сеткой оптических несущих систем удастся обеспечить компенсацию для группы оптических каналов.

Управление периодом решетки позволяет регулировать ее спектральную дисперсионную характеристику. Например, регулируя прикладываемые к волокну механические напряжения (растяжение, сжатие), можно линейно изменять период решетки. Регулируя температуру вдоль волокна, в зависимости от закона ее изменения, можно обеспечить как линейное, так и нелинейное управление периодом решетки.

Адаптивная компенсация хроматической дисперсии. Устройство адаптивной компенсации дисперсии ОВ включает управляемый модуль компенсации, модуль измерения и модуль управления. Известно множество вариантов схем построения модуля измерений, базирующихся на оценивании различных параметров сигнала. При реализации оптической адаптивной компенсации обычно измеряют параметры хроматической дисперсии на контрольных частотах (длинах волн). Управляемый модуль компенсации использует один из рассмотренных выше методов с регулируемой компенсацией.

Развитие элементной базы позволило реализовать адаптивные схемы электронной компенсации на скоростях до 10 Гбит/с. Компенсаторы строятся на известных принципах линейной и нелинейной фазовой коррекции. Их отличает экономичность и простота реализации. Они легко встраиваются в схему мультиплексора, но для каждого типа мультиплексора нужна своя схема электронной компенсации дисперсии. С увеличением числа оптических каналов системы суммарные затраты на реализацию такого способа растут.

Электронные методы компенсации. Несмотря на прогресс оптических технологий, стоимость оптических устройств все еще высока в сравнении с электронными устройствами. Существует два основных электронных способа борьбы с дисперсией на стороне передатчика:

1 Использование форматов модуляции, устойчивых к влиянию дисперсии. Это позволяет увеличить протяженность линии связи без дополнительных компенсаторов дисперсии.

2 Искусственное предискажение формы передаваемого сигнала таким образом, чтобы на стороне приемника внесенные предискажения и дисперсия волокна взаимно компенсировались.

Использование форматов модуляции, устойчивых к влиянию дисперсии, является одним из наиболее эффективных способов "электронной" борьбы с дисперсией и нелинейными эффектами в волоконно-оптической локальной сети. Применяются также предкомпенсация дисперсии путём искусственного искажения формы сигнала и электронная посткомпенсация, которая заключается в том, что оптический сигнал преобразуется в электрический и подвергается некоторой обработке.

#### 1.2.4 Нелинейные эффекты в оптическом волокне

Отклик любого диэлектрика на световое воздействие становится нелинейным в сильном электромагнитном поле, и оптическое волокно не исключение [4].

Нелинейные эффекты низшего порядка в оптических световодах возникают из-за восприимчивости третьего порядка, которая ответственна за такие явления, как генерация третьей гармоники, четырехфотонное смешение, нелинейное преломление. Однако, если не созданы специальные условия фазового синхронизма, нелинейные процессы, связанные с генерацией новых частот (например, генерация третьей гармоники или четырехволновое смешение), в световодах не эффективны. Большинство нелинейных эффектов в волоконных световодах возникают из-за нелинейного преломления (зависимости показателя преломления от интенсивности) как результат вклада, то есть показатель преломления световода определяется по формуле 1.7.

$$\bar{n}(\omega, |E|^2) = n(\omega) + n_2 |E|^2, \quad (1.7)$$

где  $n(\omega)$  – линейная часть, определяемая формулой 1.5,  $|E|^2$  – интенсивность поля внутри волокна и  $n_2$  – нелинейный показатель преломления, связанный с линейной восприимчивостью третьего порядка по формуле 1.8.

$$n_2 = \frac{3}{8n} \chi^{(3)}, \quad (1.8)$$

где  $\chi^{(3)}$  – тензор, который может влиять на поляризационные свойства оптического пучка через нелинейное двулучепреломления.

Зависимость показателя преломления от интенсивности приводит к множеству интересных нелинейных эффектов. Два наиболее широко изученных эффекта – это фазовая самомодуляция (ФСМ) и фазовая кросс-модуляция (ФКМ).

ФСМ обусловлена самонаведенным набегом фазы, который оптическое поле приобретает при распространении в оптическом волокне. Его величину можно получить, заметив, что фаза оптического поля изменяется по формуле 1.9.

$$\phi = \bar{n} k_0 L = (n + n_2 |E|^2) k_0 L, \quad (1.9)$$

где  $k_0 = 2\pi/\lambda$  и  $L$  – длина световода.

ФКМ обусловлена нелинейным набегом фазы оптического поля, который наведен другим полем на другой длине волны, распространяющимся совместно. Его появление можно понять, представив полное электрическое поле  $E$  как представлено в формуле 1.10.

$$E = \left(\frac{1}{2}\right) [E_1 \exp(-i\omega_1 t) + E_2 \exp(-i\omega_2 t) + \text{компл. сопр.}], \quad (1.10)$$

когда два оптических поля на разных частотах  $\omega_1$  и  $\omega_2$ , поляризованных вдоль оси  $x$ , вместе и одновременно распространяются в волокне. Нелинейный набег фазы поля на частоте  $\omega_1$  тогда будет рассчитан по формуле 1.11.

$$\phi_{NL} = n_2 k_0 L (|E_1|^2 + 2|E_2|^2), \quad (1.11)$$

где мы пренебрегаем всеми членами, возбуждающими поляризацию не на частотах  $\omega_1$  и  $\omega_2$ , потому что для них отсутствует фазовый синхронизм. Два члена в правой части уравнения 1.11 – это ФСМ и ФКМ соответственно.

Важной характерной чертой ФКМ является то, что для двух полей одинаковой интенсивности вклад ФКМ в нелинейный набег фазы в 2 раза больше, чем вклад ФСМ. Помимо всего прочего ФКМ вызывает асимметричное спектральное уширение совместно распространяющихся импульсов.

Вышеупомянутые нелинейные эффекты, связанные с восприимчивостью третьего порядка, можно назвать упругим рассеянием света в том смысле, что не происходит обмена энергией между электромагнитным полем и диэлектрической средой. Второй класс нелинейных эффектов вызван вынужденным неупругим рассеянием, при котором оптическое поле передает часть своей энергии нелинейной среде. В эту категорию попадают два важных нелинейных эффекта; оба они связаны с



возникновением колебательных мод кварца. Это эффекты вынужденного комбинационного рассеяния (ВКР) и рассеяния Мандельштама-Бриллюэна (ВРМБ); они были среди первых нелинейных эффектов, обнаруженных в оптических волокнах.

Основное различие между этими эффектами состоит в том, что в ВКР принимают участие оптические фононы, тогда как в ВРМБ – акустические. В простой квантовомеханической модели, применимой и к ВКР, и к ВРМБ, фотон падающего поля (часто называемый накачкой) распадается на фотон меньшей (стоксовой) частоты и фонон, имеющий такие энергию и количество движения, которые соответствуют законам сохранения энергии и количества движения. Конечно, фотон с большей энергией (на так называемой антистоксовой частоте) может возникнуть, если может быть поглощен фонон с надлежащими энергией и количеством движения. Вместе с тем, хотя ВКР и ВРМБ по своей природе очень похожи, различие дисперсионных свойств акустических и оптических фононов приводит к некоторым принципиальным различиям между ними. Основное различие заключается в том, что ВРМБ в волоконных световодах происходят только в обратном направлении, а ВКР преимущественно по направлению распространения.

Полное описание ВКР и ВРМБ в волоконных световодах довольно сложное, но для начального роста стоксовой волны существует простое соотношение. Для ВКР оно дается уравнением 1.12.

$$\frac{dI_s}{dz} = g_R I_p I_s, \quad (1.12)$$

где  $I_s$  – интенсивность стоксовой волны,  $I_p$  – интенсивность накачки и  $g_R$  – коэффициент ВКР-усиления. Такое же уравнение имеет место и для ВРМБ, если заменить  $g_R$  на коэффициент ВРМБ-усиления  $g_B$ . Величины  $g_R$  и  $g_B$  в кварцевых световодах измерены экспериментально. Спектр ВКР-усиления очень широкий,  $\approx 30$  ТГц. Максимум усиления при длине волны накачки 1 мкм  $g_R \approx 1 \times 10^{-11}$  см/Вт и находится на стоксовом частотном сдвиге около 13 ТГц. Наоборот, спектр ВРМБ-усиления очень узкий  $\approx 10$  МГц. Максимум ВРМБ-усиления находится на стоксовом сдвиге  $\approx 10$  ГГц и составляет величину около  $6 \times 10^{-9}$  см/Вт для узкой линии накачки. Эта величина уменьшается в  $\Delta\nu_p/\Delta\nu_B$  раз в случае, когда накачка имеет широкий спектр; здесь  $\Delta\nu_p$  – ширина линии накачки и  $\Delta\nu_B$  – ширина линии ВРМБ-усиления.

Важная особенность ВКР и ВРМБ в том, что эти эффекты пороговые, то есть существенное преобразование энергии накачки в энергию стоксовой волны происходит, только когда интенсивность накачки превышает некоторый пороговый уровень. Несмотря на малые величины нелинейных коэффициентов в кварцевом стекле, нелинейные эффекты могут наблюдаться при относительно низких мощностях.

## **1.3 Классификация и характеристики промышленных оптических волокон**

### **1.3.1 Основные классификационные параметры оптических волокон**

Оптические волокна могут быть классифицированы по двум параметрам. Первый – материал, из которого сделано волокно [5].

Стеклянные волокна имеют как стеклянное ядро, так и стеклянную оптическую оболочку. Стекло, используемое в данном типе волокон, состоит из сверхчистого сверхпрозрачного диоксида кремния или плавленого кварца. В стекло добавляют примеси, чтобы получить требуемый показатель преломления. Германий и фосфор, например, увеличивают показатель преломления, а бор и фтор, напротив, уменьшают его. Кроме того, в стекле присутствуют другие примеси, не извлеченные в процессе очистки. Они также влияют на свойства волокна, увеличивая затухание, обусловленное рассеянием и поглощением света.

Стеклянные волокна с пластиковой оптической оболочкой (PCS) имеют стеклянное ядро и пластиковую оптическую оболочку. Их характеристики, хотя и не столь хорошие, как у полностью стеклянного волокна, являются вполне приемлемыми.

Пластические волокна имеют пластиковое ядро и пластиковую оптическую оболочку. По сравнению с другим видами волокон пластиковые имеют ограниченные возможности с точки зрения затухания и полосы пропускания. Однако низкая себестоимость и простота использования делают их привлекательными там, где требования к величинам затухания и полосе пропускания не столь высоки. Электромагнитная невосприимчивость и секретность передачи информации по пластиковым волокнам делают их применение оправданным.

Пластиковые и PCS волокна не имеют защитных оболочек вокруг оптической оболочки.

Второй способ классификации волокон основан на индексе преломления ядра и модовой структуре света. На рисунке 1.8 показаны: три основные особенности волокон в соответствии с этой классификацией.

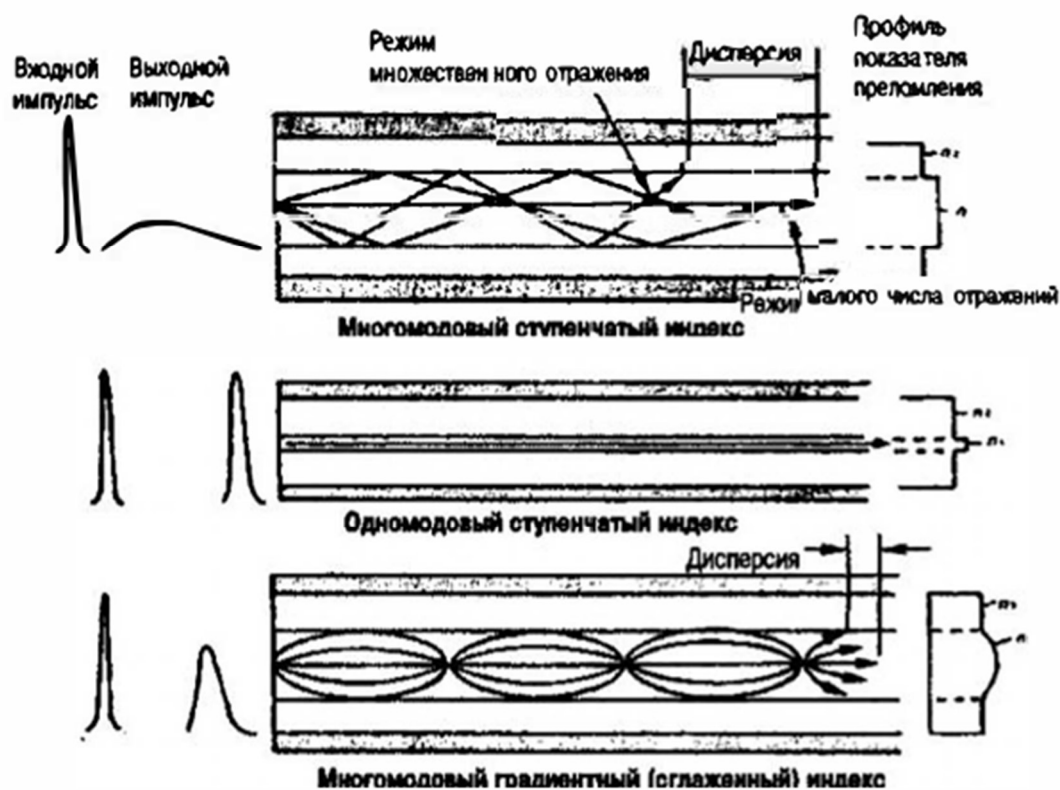


Рисунок 1.8 – Типы распространения света в волокне

Первая особенность – различие входного и выходного импульсов. Уменьшение импульса амплитуды импульса связано с затуханием его мощности. Расширение связано с конечной полосой пропускания волокна и ограниченной информационной емкостью.

Вторая особенность – траектории лучей, возникающих при распространении света.

Третья особенность – распределения значений показателей преломления в ядре и оптической оболочке для различных типов волокон.

### 1.3.2 Классификация многомодовых оптических волокон

Если диаметр сердечника много больше длины волны оптической несущей, то импульс света, распространяющийся в нем, состоит из многих составляющих, распространяемых в отдельных модах оптического волокна. Каждая мода возбуждается на входе световода под своим определенным углом ввода и направляется по сердечнику по своей траектории. Такой тип оптического волокна называется многомодовым. Моды проходят разные расстояния оптического пути и поэтому приходят на выход оптического волокна в разное время, что вызывает уширение оптических импульсов, называемое межмодовой дисперсией [6].

Многомодовые волокна подразделяются на ступенчатые и градиентные. Каждое волокно состоит из сердцевины и оболочки с разными показателями преломления. Сердцевина, по которой происходит распространение светового сигнала, изготавливается из оптически более плотного материала. При обозначении волокна указываются через дробь значения диаметров сердцевины и оболочки. Волокна отличаются диаметром сердцевины и оболочки, а также профилем показателя преломления сердцевины.

У многомодового градиентного волокна показатель преломления сердцевины зависит от радиуса. Такой более сложный профиль делается для улучшения технических характеристик в части дисперсии или для достижения других специальных характеристик волокна.

Если сравнивать многомодовые волокна между собой, то градиентное волокно имеет лучшие технические характеристики, чем ступенчатое, по дисперсии. Главным образом это связано с тем, что межмодовая дисперсия в градиентном многомодовом волокне, являющаяся основным источником дисперсии, значительно меньше, чем в ступенчатом многомодовом волокне, что обеспечивает большую пропускную способность градиентному волокну.

Свет в сердечнике многомодового ступенчатого волокна проходит через большое количество отражений на границе с оболочкой. Показатель преломления однороден по всей сердцевине. Минимальный диаметр сердечника 50 или 62,5 мкм, диаметр оболочки от 100 до 140 мкм, и числовая апертура между 0,2 и 0,5. Из-за модовой дисперсии у ступенчатого многомодового волокна очень низкая пропускная способность, которая выражается произведением расстояния к пропускной способности в МГц×км. Пропускная способность оптоволокна 20 МГц×км обозначает, что волокно способно перенести сигнал в 20 МГц на расстояние в 1 км, сигнал в 10 МГц на расстояние 2 км, сигнал в 40 МГц на расстояние 0,5 км, и так далее. Пластиковое покрытие такого многомодового волокна изготавливается для использования на коротких дистанциях в аппаратуре не требовательной к низкому затуханию сигнала.

В волоконно-оптических системах передачи наиболее широко используются следующие стандарты многомодовых оптических волокон:

- многомодовое градиентное волокно 50/125;
- многомодовое градиентное волокно 62,5/125.

В стандартном многомодовом градиентном волокне (50/125 или 62,5/125) диаметр светонесущей жилы 50 и 62,5 мкм, что на порядок больше длины волны передачи. Это приводит к распространению множества различных типов световых лучей – мод – во всех трех окнах прозрачности. Для

передачи света по многомодовому волокну используют окна прозрачности 850 и 1310 нм.

Полоса пропускания на длине волны 1300 нм превосходит соответствующее значение на длине волны 850 нм. Это объясняется следующим. Дисперсия, которая определяет полосу пропускания, состоит из межмодовой и хроматической составляющих.

Межмодовая дисперсия слабо зависит от длины волны, поскольку зависимостью показателя преломления от длины волны можно пренебречь. Хроматическая дисперсия пропорциональна ширине спектра излучения. Коэффициент пропорциональности  $D(\lambda)$  при длинах волн в окрестности 1300 нм близок к нулю в то время, как на длине волны 850 нм примерно равен 100 пс (нм<sup>2</sup>×км). Это приводит к тому, что хроматическая дисперсия на длине волны 850 нм начинает играть существенную роль наряду с межмодовой дисперсией. По этой причине градиентные многомодовые волокна используются в диапазоне длин волн 1300 нм. Реальные волокна имеют здесь полосу пропускания до 1000 МГц×км, что дает возможность реализовать длину регенерационного участка до 25 км при скорости передачи 34 Мбит/с.

Соединение волокон 62,5/125 и 50/125. Если свет распространяется из волокна 50/125 в волокно 62,5/125, то потери интенсивности света не происходит. Если же свет переходит из волокна 62,5/125 в волокно 50/125, то только до  $(50/62,5)^2$  интенсивности света будет во втором волокне, что соответствует потерям 1,94 дБ. Этот факт обычно учитывается при производстве оптических приемопередатчиков – светодиод передатчика рассчитан на волокно меньшего диаметра, а приемник в этом же устройстве на волокно большего диаметра.

Типичные затухания для многомодового градиентного ОВ:

- 3 дБ/км в 850 нм;
- 1 дБ/км в 1300 нм.

Числовая апертура для многомодового градиентного ОВ: 0,2.

Обычная пропускная способность на длину:

- 160 МГц о км в 850 нм;
- 500 МГц о км в 1300 нм.

Типичные значения показателя преломления:

- 1.49 для 62.5 мкм в 850 нм;
- 1.475 для 50 мкм в 850 нм и 1.465 для 50 мкм в 1300 нм.

Преимущество многомодового волокна заключается в относительно большем радиусе сердцевины, что упрощает процесс сварки. Основным же недостатком многомодового волокна является расширение световых импульсов, вследствие межмодовой дисперсии. Именно из-за этого возникает

ограничение применения многомодовых волокон для скоростей передачи свыше 100 Мбит/с на расстояниях свыше 10 км.

### 1.3.3 Классификация одномодовых оптических волокон

Одномодовые волокна подразделяются на ступенчатые одномодовые волокна или стандартные волокна SF (standart fiber), на волокна со смещенной дисперсией DSF (dispersion shifted) и на волокна с ненулевой смещенной дисперсией NZDSF (non-zero dispersion shifted).

У одномодового волокна со смещенной дисперсией, как и у многомодового градиентного волокна показатель преломления сердцевины зависит от радиуса. Одномодовое волокно имеет значительно меньший диаметр сердцевины по сравнению с многомодовым и, как следствие, из-за отсутствия межмодовой дисперсии, более высокую пропускную способность. Однако, оно требует применения более дорогих лазерных передатчиков. В волоконно-оптических системах передачи наиболее широко используются следующие стандарты одномодовых оптических волокон:

- одномодовое ступенчатое (стандартное) волокно SF 8-10/125;
- одномодовое волокно со смещенной дисперсией DSF 8-10/125;
- одномодовое волокно с ненулевой смещенной дисперсией NZDSF (по профилю показателя преломления это волокно схоже с DSF).

В ступенчатом одномодовом волокне SF диаметр светонесущей жилы составляет 8-10 мкм и сравним с длиной световой волны. В таком волокне при достаточно большой длине волны  $\lambda \geq \lambda_{CF}$  ( $\lambda_{CF}$  – длина волны отсечки) распространяется только один луч (одна мода). Одномодовый режим в одномодовом волокне реализуется в окнах прозрачности 1310 и 1550 нм. Распространение только одной моды устраняет межмодовую дисперсию и обеспечивает очень высокую пропускную способность одномодового волокна в этих окнах прозрачности.

Наилучший режим распространения с точки зрения дисперсии достигается в окрестности длины волны 1310 нм, когда хроматическая дисперсия обращается в ноль. С точки зрения потерь это не самое лучшее окно прозрачности. В этом окне потери составляют 0,3-0,4 дБ/км в то время, как наименьшее затухание 0,2-0,25 дБ/км достигается в окне 1550 нм.

В одномодовом волокне со смещенной дисперсией DSF длина волны, на которой результирующая дисперсия обращается в ноль (длина волны нулевой дисперсии  $\lambda_0$ ), смещена в область окна 1550 нм. Такое смещение достигается благодаря специальному профилю показателя преломления волокна. Таким образом, в волокне со смещенной дисперсией реализуются наилучшие

характеристики как по минимуму дисперсии, так и по минимуму потерь. Поэтому такое волокно лучше подходит для строительства протяженных высокоскоростных линий связи с расстоянием между переприемными участками до 100 и более км.

Одномодовое волокно с ненулевой смещенной дисперсией NZDSF в отличие от DSF оптимизировано для передачи не одной длины волны, а сразу нескольких длин волн (сигнала со спектральным уплотнением WDM) и наиболее эффективно может использоваться при построении магистралей полностью оптических сетей, то есть сетей, на узлах которых не происходит оптоэлектронного преобразования при распространении оптического сигнала.

Передача спектрально уплотненного сигнала на большие расстояния требует использования линейных широкополосных оптических усилителей, из которых наибольшее распространение получили эрбиевые усилители на основе легированного эрбием волокна EDFA. Линейные усилители типа EDFA эффективно могут усиливать сигнал в своем рабочем диапазоне 1530-1560 нм. Длина волны нулевой дисперсии у волокна NZDSF выведена за пределы этого диапазона, что значительно ослабляет влияние нелинейных эффектов в окрестности точки нулевой дисперсии при распространении нескольких длин волн.

Оптимизация трех перечисленных типов одномодовых волокон совершенно не означает, что они всегда должны использоваться исключительно под определенные задачи. Максимально допустимая длина переприемного участка определяется технико-экономическими характеристиками как самого волокна (затуханием, дисперсией и стоимостью), так и приемо-передающего оборудования (мощностью, шириной спектральной линии, скоростью передачи, спектральным уширением передаваемого импульса, чувствительностью приемника и стоимостью).

Все три типа волокон очень близки по затуханию, но отличаются характеристиками хроматической дисперсии.

Волокно SF. В начале 80-х годов прошлого века передатчики на длину волны 1550 нм имели очень высокую цену и не могли конкурировать на рынке с передатчиками на длину волны 1300 нм. Поэтому стандартное ступенчатое волокно стало первым коммерческим волокном и сейчас наиболее широко распространено в телекоммуникационных сетях. Оно оптимально по дисперсии для работы в окне 1310 нм, хотя затухание в этом окне больше, чем в окне 1550 нм.

Волокно DSF. По мере совершенствования элементной базы для систем передачи на волне 1550 нм встала задача разработки волокна с длиной волны нулевой дисперсии, попадающей внутрь этого окна. В итоге в середине 80-х

годов было создано волокно со смещенной дисперсией, полностью оптимизированное для работы в окне 1550 нм как по затуханию, так и по дисперсии.

На протяжении многих лет волокно DSF считалось самым перспективным волокном. С появлением технологии передачи мультиплексного оптического сигнала начинают применяться эрбиевые оптические усилители EDFA, способные усиливать многоканальный оптический сигнал WDM. Однако, исследования показали, что именно длина волны нулевой дисперсии (1550 нм), попадающая внутрь рабочего диапазона эрбиевого усилителя, является главным потенциальным источником нелинейных эффектов и, прежде всего, четырехволнового смешивания, которые проявляются в резком возрастании шума при распространении многоканального сигнала.

Четырехволновое смешивание – это эффект, приводящий к рассеянию двух волн с образованием новых нежелательных длин волн. Новые волны могут приводить к деградации распространяемого оптического сигнала, интерферируя с ним, или перекачивать мощность из полезного волнового канала. Чтобы избежать нелинейных эффектов при использовании DSF в WDM системах приходилось вводить сигнал меньшей мощности, увеличивать расстояние между оптическими каналами и избегать передачи парных (симметричных относительно  $\lambda_0$ ) каналов. Именно из-за эффекта четырехволнового смешивания стало ясно, что необходим новый тип волокна, в котором  $\lambda_0$  располагалось бы по одну сторону (левее или правее) от всех возможных каналов.

Волокно NZDSF создается в начале 90-х годов с целью преодолеть нелинейные эффекты. Известное также как  $\lambda$ -смещенное волокно, оно характерно тем, что длина волны нулевой дисперсии вынесена за пределы полосы пропускания эрбия. Это уменьшает нелинейные эффекты и улучшает характеристики волокна при передаче DWDM сигнала.

Установка новых волоконно-оптических сетей передачи или наращивание уже существующих с учетом перехода на новые скорости или использования волнового мультиплексирования может осуществляться с использованием трех перечисленных видов волокон. При выборе конкретного типа волокна следует учитывать такие факторы, как общая стоимость проекта, требуемые емкости каналов, надежность и сложность системы.



### 1.3.4 Характеристики промышленных оптических волокон

Типы оптического волокна, применяемого в оптических кабелях:

- одномодовое, рекомендация ITU-T G.652.B (в маркировке тип “Е”);
- одномодовое, рекомендация ITU-T G.652.C, D (в маркировке тип “А”);
- одномодовое, рекомендация ITU-T G.655 (в маркировке тип “Н”);
- одномодовое, рекомендация ITU-T G.656 (в маркировке тип “С”);
- многомодовое, с сердцевиной диаметром 50 мкм, рекомендация ITU-T G.651 (в маркировке тип “М”);
- многомодовое, с сердцевиной диаметром 62,5 мкм (в маркировке тип “В”) [7].

Геометрические характеристики оптических волокон представлены в таблице 1.1, а передаточные характеристики представлены в таблице 1.2.

Таблица 1.1 – Геометрические характеристики оптоволокна

Тип ОВ	Многомодовое		Одномодовое			
	М	В	Е	А	Н	С
Рекомендация МСЭ-Т	G.651	–	G.652B	G.652C (D)	G.655	G.656
Геометрические характеристики						
Диаметр отражающей оболочки, мкм	125±1	125±1	125±1	125±1	125±1	125±1
Диаметр по защитному покрытию, мкм	250±1	250±1	250±1	250±1	250±1	250±1
Некруглость отражающей оболочки, % не более	1	1	1	1	1	1
Неконцентричность сердцевины, мкм, не более	1,5	1,5	–	–	–	–

Продолжение таблицы 1.1

Тип ОВ	Многомодовые		Одномодовые			
	М	В	Е	А	Н	С
Геометрические характеристики						
Диаметр сердцевины, мкм	50±2,5	62,5±2,5				
Диаметр модового поля, мкм, на длине волны:						
1310 нм	—	—	9,2±0,4	9,2±0,4	—	—
1550 нм	—	—	10,4±0,8	10,4±0,8	9,2±0,4	7,7±0,4
Неконцентричность модового поля, мкм, не более	—	—	0,8	0,5	0,8	0,6

Таблица 1.2 – Передаточные характеристики оптоволокна

Тип ОВ	Многомодовое		Одномодовое			
	М	В	Е	А	Н	С
Передаточные характеристики						
Рабочая длина волны, нм	850 и 1300	850 и 1300	1310 и 1550	1275÷1625	1550	1460÷1625

Продолжение таблицы 1.2

Тип ОВ	Многомодовые		Одномодовые			
	М	В	Е	А	Н	С
Передаточные характеристики						
Коэффициент затухания ОВ, дБ/км, не более, на длине волны:						
850 нм	2,4	3,0	—	—	—	—
1300 нм	0,7	0,7	—	—	—	—
1310 нм	—	—	0,36	0,36	—	—
1383 нм	—	—	—	0,31	—	—
1460 нм	—	—	—	—	—	0,35
1550 нм	—	—	0,22	0,22	0,22	0,23
1625 нм	—	—	—	—	0,25	0,26
Числовая апертура	0,200 ± 0,015	0,275± 0,015	—	—	—	—
Ширина полосы пропускания, МГц×км, не менее, на длине волны:						
850 нм	400 ÷ 1000	160 ÷ 300	—	—	—	—
1300 нм	600 ÷ 1500	500 ÷ 1000	—	—	—	—

Продолжение таблицы 1.2

Тип ОВ	Многомодовые		Одномодовые			
	М	В	Е	А	Н	С
Передаточные характеристики						
Коэффициент хроматической дисперсии пс/(нм×км), не более, в интервале длин волн:						
1285÷1330 нм	—	—	3,5	3,5	—	—
1460÷1625 нм (G.656)	—	—	—	—	—	2,0–8,0
1530÷1565 нм (G.655)	—	—	—	—	2,6–6,0	4,0–7,0
1565÷1625 нм (G.655)	—	—	—	—	4,0–8,9	—
1525÷1575 нм	—	—	18	18	—	—
Длина волны нулевой дисперсии, нм	—	—	1300 ÷ 1322	1300 ÷ 1322	—	—
Наклон дисперсионной характеристики в области длины волны нулевой дисперсии, в интервале длин волн, пс/нм <sup>2</sup> ×км, не более	0,101	0,097	0,092	0,092	0,05	—
Длина волны отсечки (в кабеле), нм, не более	—	—	1270	1270	1470	1450

Продолжение таблицы 1.2

Тип ОВ	Тип ОВ		Тип ОВ			
	М	В	Е	А	Н	С
Передаточные характеристики						
Коэффициент поляризационной модовой дисперсии на длине волны 1550 нм, пс/км, не более	—	—	0,2	0,2	0,2	0,1
Прирост затухания из-за макроизгибов (100 витков $\times$ $\varnothing$ 60 мм), дБ: $\lambda = 1550$ нм/1625 нм			0,5	0,5	0,5	0,5

#### 1.4 Выводы по разделу 1

К основным физическим особенностям передачи информации по оптоволокну относится широкополосность оптических сигналов, обусловленная чрезвычайно высокой частотой несущей ( $F_0 = 10^{14}$  Гц). Это означает, что по оптической линии связи можно передавать информацию со скоростью порядка  $10^{12}$  бит/с или Тбит/с; также очень малое (по сравнению с другими средами) затухание оптического сигнала в волокне. Лучшие образцы эксплуатируемого волокна имеют затухание 0,22 дБ/км на длине волны 1,55 мкм, что позволяет строить линии связи длиной до 100 км без регенерации сигналов.

К техническим особенностям относятся то, что волокно изготовлено из кварца, основу которого составляет двуокись кремния, широко распространенного, а потому недорогого материала, в отличие от меди; также оптические волокна имеют диаметр около 100 мкм, что делает их перспективными для использования в авиации, приборостроении, в кабельной технике; к тому же стеклянные волокна – не металл, при строительстве систем связи автоматически достигается гальваническая развязка сегментов; и

системы связи на основе оптических волокон устойчивы к электромагнитным помехам, а передаваемая по световодам информация защищена от несанкционированного съема.

Передача информации по оптоволокну имеет как свои достоинства, так и недостатки.

Достоинства использования ВОСП:

- широкая полоса пропускания;
- малое затухание светового сигнала в волокне;
- высокая помехозащищенность;
- малый вес и объем, малая масса и габаритные размеры;
- высокая защищенность от несанкционированного съема;
- высокая помехоустойчивость, нечувствительность к внешним электромагнитным полям и практически отсутствие перекрестных помех между отдельными волокнами, уложенными вместе в кабель;
- полная электрическая изоляция между входом и выходом системы связи;
- отсутствие коротких замыканий;
- потенциально низкая стоимость.

Недостатки использования ВОСП:

- подверженность волоконных световодов радиации, за счет которой появляются пятна затемнения и возрастает затухание;
- относительно малая стойкость к механическим воздействиям, чувствительность к загрязнениям;
- водородная коррозия стекла, приводящая к микротрещинам световода и ухудшению его свойств.

## **2 МЕТОДЫ НЕСАНКЦИОНИРОВАННОГО ВЫВОДА ИНФОРМАЦИИ С БОКОВОЙ ПОВЕРХНОСТИ ОПТИЧЕСКОГО ВОЛОКНА**

### **2.1 Методы вывода информации без внесения локальной неоднородности**

С точки зрения технической реализации рассматриваемые ниже методы очень сложны. Стоит отметить, что их главное преимущество – отсутствие или минимальное влияние на ОВ и передаваемые сигналы. Выделяют два основных метода получения оптического излучения с боковой поверхности ОВ без создания локальной неоднородности: за счет концентрации рэлеевского рассеяния и за счет распределенной связи двух ОВ.

#### **2.1.1 Реализуемые за счет концентрации рэлеевского рассеяния**

Реализация метода несанкционированного вывода информации с боковой поверхности оптического волокна за счет концентрации рэлеевского рассеяния не приводит к изменению характеристик волоконно-оптической линии связи. В настоящее время оптоволоконные потери довольно часто связаны с поглощением оптического излучения на примесях, рассеянием на неоднородностях оптоволокна, рассеянием света на молекулах кварца, из которого сделаны оптические волокна. Неоднородности оптических волокон и ряд других причин приводят к тому, что часть оптического излучения рассеивается, отражается или покидает сердцевину оптоволокна, переходя во внешние оболочки.

Согласно руководящим документам МСЭ-Т рек. G.652, G.655 для одномодовых оптических волокон потери оптического тракта характеризуются коэффициентом потерь на единицу длины оптоволокна – [дБ/км]. Данный коэффициент можно рассчитать по формуле 2.1.

$$\alpha = 10 \log \left( \frac{P_{\text{вх}}}{P_{\text{вых}}} \right), \quad (2.1)$$

где  $P_{\text{вх}}$  – мощность оптического излучения на входе ОВ, [мВт];

$P_{\text{вых}}$  – мощность оптического излучения на выходе ОВ, [мВт].

Снимать информацию с протяженного участка ОВ невозможно как с технического представления, так и с точки зрения параметров принятого оптического излучения. Для реализации устройства отбора оптического излучения (ОИ) необходимо минимизировать длину ОВ, при которой

возможно получить сигнал с уровнем мощности, достаточным для приема с требуемым коэффициентом ошибок. Если всю энергию, вышедшую с сантиметрового отрезка ОВ, сконцентрировать на входе фотоприемника, мощность полученного сигнала не будет достаточной для обеспечения требуемого качества приема. Также следует учесть, что количество рассеиваемой мощности с участка ОВ произвольной длины зависит от расстояния между передатчиком оптического излучения до конца участка ОВ, затухания участка ОВ и суммарного затухания участка. Мощность оптического излучения, теряемая на участке ОВ, рассчитывается по формуле 2.2.

$$P_{\text{рас}} = P_{\text{вх}} - P_{\text{вх}} \times 10^{\frac{\alpha_{\text{участка}}}{10}}, \quad (2.2)$$

где  $P_{\text{вх}}$  – мощность оптического излучения на входе ОВ, [мВт];

$\alpha_{\text{участка}}$  – суммарное затухание участка ОВ, [дБ].

Данный метод может быть реализован с помощью устройства, представленного на рисунке 2.1.

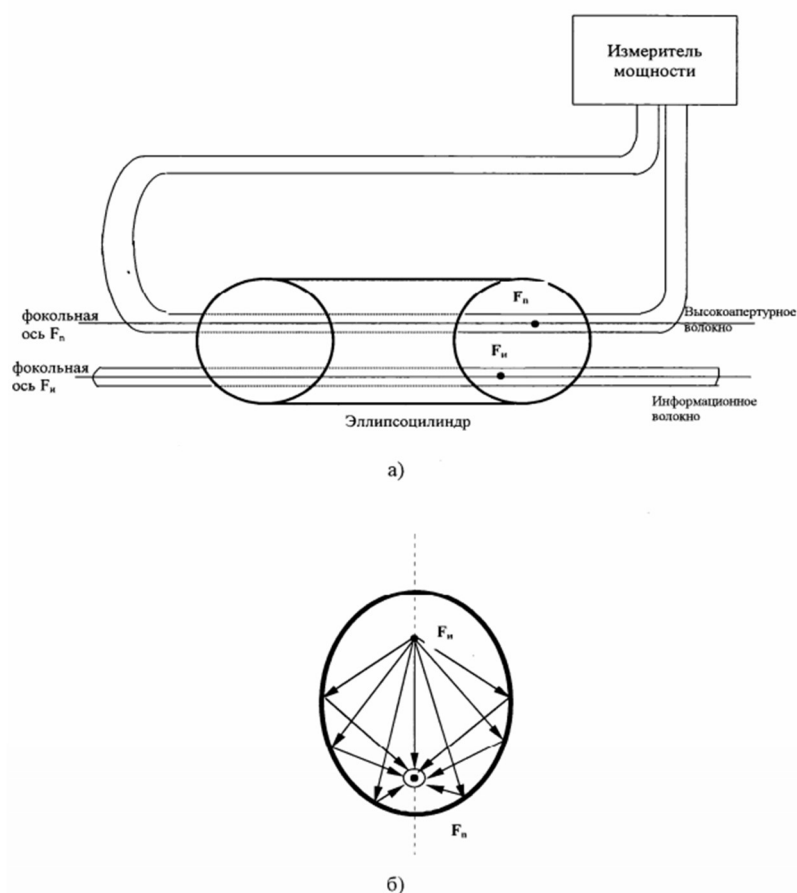


Рисунок 2.1 – Получение оптического излучения с боковой поверхности ОВ с помощью эллипсоцилиндра



Волокно нужно расположить вдоль одной из фокальных осей внутри эллипсоцилиндра для концентрации энергии, вышедшей с боковой поверхности информационного волокна. Внутренняя поверхность такого цилиндра должна быть покрыта отражающим покрытием с максимально возможным коэффициентом отражения. В данном случае информационное оптическое волокно является излучателем. Отраженные от внутренней поверхности лучи концентрируются на второй фокальной оси эллипсоцилиндра. Если вдоль этой оси расположить оптическое волокно, то с обоих его торцов будет выходить сконцентрированное оптическое излучение. Осуществлять прием полученного оптического сигнала следует, направляя собранное излучение на вход фотодетектора или оптического предусилителя.

В целях повышения эффективности сбора оптического излучения таким методом необходимо, чтобы оптоволокно устройства несанкционированного съема данных не имело оболочки на той части своей длины, которая находится в эллипсоцилиндре, а также было высокоапертурным. На рисунке 2.1 представлен ход лучей в поперечном сечении эллипсоцилиндра.

Описанный метод ограничен по скорости принимаемой информации, так как существует сдвиг во времени между начальной точкой участка снятия и выходной точкой. Значительный вклад в затухание вносит поглощение оптического излучения материалом ОВ. Также следует учитывать, что при рэлеевском рассеянии не все рассеянное излучение выходит за пределы ОВ, часть оптического излучения направляется в сторону источника излучения.

Достоинством метода несанкционированного вывода информации с боковой поверхности оптического волокна за счет концентрации рэлеевского рассеяния является высокая сложность обнаружения. К недостаткам данного метода стоит отнести сложность реализации и малый уровень мощности получаемого оптического излучения.

### **2.1.2 Реализуемые за счет распределенной связи двух оптических волокон**

Получение части оптического излучения с боковой поверхности оптического волокна осуществляется с прямого оптоволокна с помощью второго оптического волокна, расположенного рядом с информационным ОВ. Для этого необходимо, чтобы оси двух ОВ находились в одной плоскости и были параллельны друг другу. В данном методе применяется метод распределенной волноводной связи. На рисунке 2.2 представлена схема устройства, реализующего данный метод.

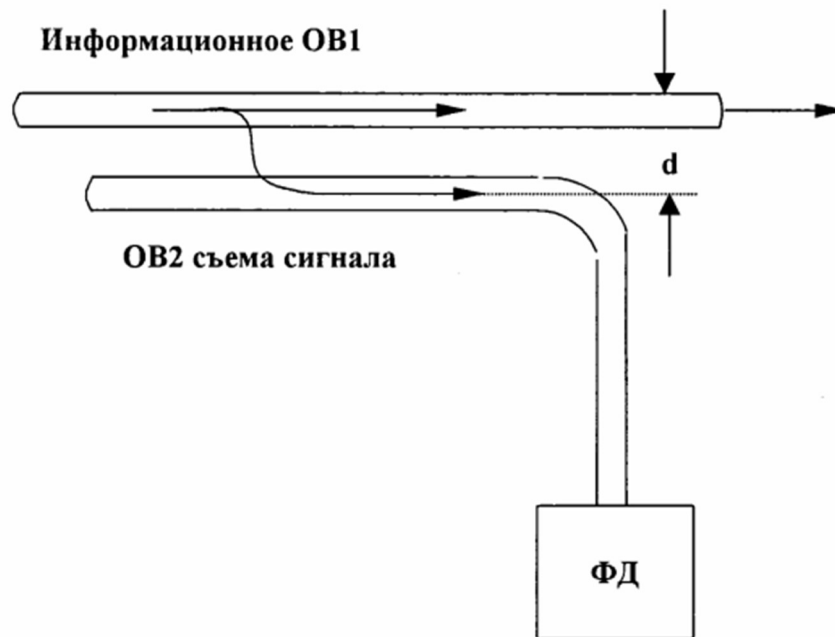


Рисунок 2.2 – Получение оптического излучения с боковой поверхности ОВ за счет распределенной волновой связи

Информационное волокно ОВ1 и волокно съема ОВ2 могут быть идентичными либо отличаться по форме и размерам. От диаметра ОВ1 и ОВ2, от расстояния между осями ОВ1, ОВ и от длины участка связи зависит количество энергии, переходящее из ОВ1 в ОВ2. С целью максимального ответвления энергии необходимо уравнивать фазовые скорости волн в обоих волокнах, которые также являются оптическими диэлектрическими волноводами.

При определенной длине участка взаимодействия, зависящей от расстояния  $d$  между оптическими волноводами и коэффициента замедления, имеет место полная перекачка энергии из волновода ОВ1 в волновод ОВ2. При дальнейшем увеличении участка взаимодействия происходит периодическое изменение величины передаваемого сигнала из одного волокна в другое. Для несанкционированного съема требуется только незначительная часть энергии, величина которой должна быть меньше, чем пороговое значение фиксации факта отбора информации средствами контроля.

Коэффициент связи  $\chi_i$  для двух волокон, расположенных вплотную друг к другу определяется по формуле 2.3.

$$|\chi_i| = 0,671\Delta^{(0,25)}(kn_1)^{-0,5} \times r^{-\frac{3}{2}}\left(\frac{i}{M}\right)\left(1 - \frac{i}{M}\right)^{\frac{1}{4}}, \quad (2.2)$$

где  $\Delta = n_1 - n_2$  – разность показателей преломления сердечника и оболочки ОВ (если ОВ одинаковы);

$k = 2\pi/\lambda$  – волновое число, [рад/м];

$r$  – радиус волокна, [мкм];

$n_1$  – показатель преломления сердечников;

$i$  – номер связывающей моды;

$M$  – общее количество мод (для одномодовых ОВ  $M=2$ , имеется в виду 2 ортогональные поляризации).

## **2.2 Методы вывода информации за счет созданной локальной неоднородности в оптических волокнах**

Методы вывода информации за счет создания локальной неоднородности считаются наиболее простыми и надежными. Выделяют следующие способы реализации данного метода:

- поперечное сжатие ОВ;
- локальное температурное воздействие ОВ;
- акустическое воздействие на ОВ;
- изгиб ОВ.

Помимо преднамеренно созданной в ОВ локальной неоднородности, существуют и запланированные локальные неоднородности. К ним относятся места сварки оптических волокон в точках соединения строительных длин ОК, трещины и непреднамеренные изгибы ОВ.

### **2.2.1 Реализуемые посредством поперечного сжатия, температурного и акустического воздействия на оптические волокна**

Как следствие поперечного сжатия оптического волокна на длине 3-4 мм происходит уплотнение материала оптического волокна (кварца или полимера), следовательно, это приводит к увеличению показателя преломления сердечника и оболочки. Исходя из вышесказанного, в оптическом волокне появляется оптическая анизотропия, на которой излучение преломляется, и часть его излучается через боковую поверхность.

Показатели преломления сердечника и оболочки ОВ увеличиваются при локальном температурном воздействии на оптическое волокно на длине 3-4 мм до температуры 200-300°C, в результате чего в волокне также возникает оптическая анизотропия, на которой происходит утечка части оптического излучения во внешнее пространство.

На рисунке 2.3 представлена иллюстрация создания локальной неоднородности за счет сжатия ОВ.

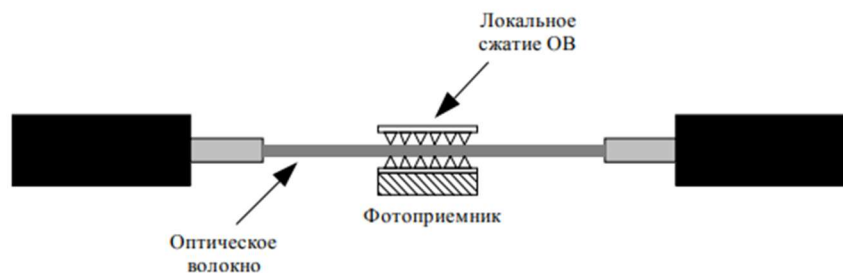


Рисунок 2.3 – Создание локальной неоднородности за счет сжатия ОВ

Помимо перечисленных методов создания локальной неоднородности в ОВ, стоит отметить и такой метод, при котором дискретная анизотропия в ОВ создается через возбуждения в нем поперечных гиперзвуковых колебаний. В материале волокна создаются периодические изменения плотности и показателей преломления сердечника и оболочки. Периодическое изменение показателя преломления можно считать дифракционной решеткой, на которой происходит дифракция проходящего через нее оптического излучения. Часть дифрагирующего излучения попадает в оптическое волокно через боковую поверхность. Величина энергии, выходящей через боковую поверхность ОВ, будет зависеть от длины волны оптического излучения, так как дифракционная решетка является частотно селективным элементом.

Методы вывода информации за счет созданной локальной неоднородности в оптических волокнах, реализуемые посредством поперечного сжатия, температурного и акустического воздействия на оптические волокна, характеризуется изменением характеристик передаваемых сигналов, что может быть обнаружено системой обнаружения несанкционированного съема. К недостаткам данного метода относится невозможность быстрого включения и отключения устройства НСД.

### 2.2.2 Реализуемые путем врезки оптического разветвителя

Как и в случае ранее рассмотренных способов с внесением в ОВ локальной неоднородности, данный способ характеризуется изменением характеристик передаваемых сигналов, что может быть обнаружено системой обнаружения несанкционированного съема данных. Также недостатком данного способа является невозможность быстрого включения и отключения устройства несанкционированного съема.

На рисунке 2.4 представлен вывод оптического излучения из ОВ за счет врезки оптического ответвителя. На рисунке 2.4а представлен случай, когда к ОВ не было несанкционированного подключения, а на рисунке 2.4б представлен случай, когда в ОВ произошла врезка оптического ответвителя.

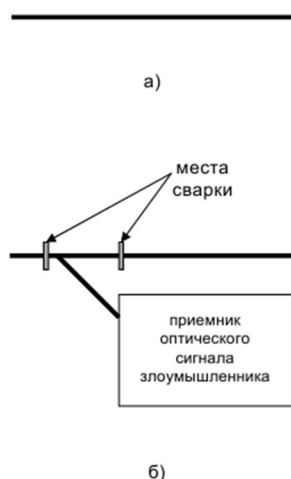


Рисунок 2.4 – Вывод оптического излучения из ОВ за счет врезки оптического ответвителя

Недостаток данного метода подключения заключается в том, что существует время  $\Delta T$ , в течение которого происходит нарушение передачи информационных сигналов. В том случае, когда  $\Delta T \rightarrow 0$  и величина прироста затухания за счет врезки ответвителя достаточно мала, данный тип несанкционированного съема может быть не обнаружен.

### 2.2.3 Реализуемые за счет макроизгиба оптического волокна

Метод вывода информации за счет созданной локальной неоднородности в оптических волокнах реализуемые за счет макроизгиба оптического волокна является наиболее изученным методом из всех возможных видов локальных неоднородностей.

При уменьшении величины радиуса изгиба ОВ величина прироста затухания ОВ увеличивается по закону, близкому к экспоненциальному. При фиксированном радиусе изгиба ОВ величина прироста затухания больше для оптических сигналов с большей длиной волны. Также стоит отметить, что излучение оптического сигнала в месте изгиба ОВ представляет собой пучок лучей, высвечивание происходит по касательной к дуге изгиба ОВ, все лучи лежат в плоскости витка.

Для одномодового оптического волокна величина потерь в ОВ вследствие макроизгиба имеет вид:

$$L_s = 10 \log_{10}(\exp^{2\alpha L}) = 8.686\alpha L, \quad (2.2)$$

где  $L$  – длина изогнутого оптического волокна, [мм];

$\alpha$  – коэффициент потерь вследствие макроизгиба, [дБ].

В современном мире существуют устройства, использующие в своей работе макроизгиб ОВ. Также на рынке представлены устройства, позволяющие установить отсутствие или наличие оптического излучения в ОВ, называемые оптическим тестером. К тому же, для работы устройства не требуется удалять защитное покрытие или производить разрыв оптоволокну.

К достоинствам данного метода можно отнести факт того, что для несанкционированного съема необходима небольшая протяженность оптического волокна, стабильные характеристики получаемого оптического излучения, возможность контроля величины вносимого затухания, возможность быстрого включения и быстрого отключения устройства несанкционированного съема данных, возможность компенсации вносимых устройством потерь за счет ввода в ОВ соответствующего уровня мощности оптического излучения. Главным недостатком метода реализуемого посредством макроизгиба оптического волокна является внесение изменений в характеристики передаваемых сигналов, что может быть зафиксировано системой обнаружения несанкционированного съема данных.

## **2.3 Выводы по разделу 2**

Изучение методов несанкционированного вывода информации с боковой поверхности оптического волокна делятся на методы получения оптического излучения с боковой поверхности ОВ за счет устройств, не создающих в ОВ локальных неоднородностей и на методы получения оптического излучения с боковой поверхности ОВ за счет устройств, создающих в ОВ локальную неоднородность.

Устройства, не создающие в оптических волокнах локальных неоднородностей, достаточно трудно обнаружить. Также их реализация и процесс подключения трудоемки и требуют дополнительных исследований. Такие технические средства могут использоваться в качестве базы для создания устройств НСД.

### **3 РАЗРАБОТКА УСТРОЙСТВА ОБНАРУЖЕНИЕ НЕСАНКЦИОНИРОВАННОГО СЪЕМА ДАННЫХ ПРИ ПЕРЕДАЧИ ИНФОРМАЦИИ ПО ВОЛОКОННО- ОПТИЧЕСКОМУ КАНАЛУ СВЯЗИ**

#### **3.1 Принципы функционирования устройства**

Наибольшей чувствительностью к макроизгибам оптического волокна обладает оптическое излучение с длиной волны 1625 нм, которое будет разумно использовать для передачи синхроимпульсов и обнаружения несанкционированного доступа к информации, передаваемой по каналу связи. Непосредственно передавать данные по волоконно-оптической линии связи следует на длине волны оптического излучения 850 нм, потому что в этом случае конфиденциальность передаваемой информации будет выше, чем при использовании других длин волн. Это объясняется тем, что на длине волны оптического излучения 850 нм наименьшая вероятность потери оптического излучения, следовательно, возможный несанкционированный доступ, осуществляемый посредством макроизгиба оптического волокна, может привести к утечке наименьшего количества информации.

Принцип работы устройства обнаружения несанкционированного съема данных при передаче информации по волоконно-оптическому каналу связи состоит в том, что источник оптического излучения И1 с длиной волны  $\lambda_1$  передает синхроимпульсы, а источник оптического излучения И2 с длиной волны  $\lambda_2$  используется для передачи данных при помощи импульсов малой мощности. Оптические излучения от источников И1 и И2 поступают на оптический смеситель, после чего направляются в оптическое волокно. С выхода оптического волокна излучения подаются на монохроматор, который разделяет оптические излучения в зависимости от длины волны. Излучение с длиной волны  $\lambda_1$  направляется на фотоприемник, а излучение с длиной волны  $\lambda_2$  подается на счетчик фотонов.

Синхроимпульсы применяются для синхронизации работы счетчика фотонов и источника И2. Синхронизация работы счетчика фотонов и источника И2 осуществляется при помощи фотоприемника и амплитудного дискриминатора. Фотоприемник регистрирует синхроимпульсы от источника И1. Электрические импульсы с выхода фотоприемника поступают на вход амплитудного дискриминатора, который сравнивает их амплитуду с некоторым заранее заданным значением. Если амплитуда синхроимпульса превышает заданное значение, то на первом выходе амплитудного дискриминатора формируются импульсы стандартной амплитуды и

длительности, которые поступают на второй вход счетчика фотонов, управляя его работой. Счетчик фотонов регистрирует оптическое излучение только при наличии управляющих импульсов на его втором входе. В случае, когда амплитуда синхроимпульса, поступающего на вход амплитудного дискриминатора, не превышает заданное значение, импульсы на первом выходе амплитудного дискриминатора отсутствуют, а на его втором выходе формируется сигнал тревоги, подаваемый на второй вход источника оптического излучения И2, и передача и прием информации прекращаются.

Поступающая входная последовательность данных, состоящая из двоичных символов «0» и «1», подается на первый вход источника оптического излучения И2. При отсутствии сигнала «Тревога» на втором входе И2 и наличии на первом входе И2 символа («0» или «1») на первом выходе И2 формируются электрические импульсы, а на втором – оптические при передаче символов «1»; при передаче символов «0» оптические импульсы на втором выходе И2 отсутствуют. Электрические импульсы с первого выхода И2 поступают на вход источника оптического излучения И1. Источник И1 формирует оптическое излучение при наличии на его входе электрических импульсов. В результате на выходе И1 формируется оптическое излучение при передаче символа («0» или «1»).

При передаче символа «1» на втором выходе И2 формируются маломощные оптические импульсы. Таким образом, несанкционированному пользователю для перехвата информации необходимо создать такой макроизгиб оптического волокна, при котором из каждого передаваемого оптического импульса изымается не менее одного фотона. В зависимости от общего количества фотонов в одном импульсе при несанкционированном изъятии из каждого такого импульса одного фотона доля потерь мощности будет различна.

Например, несанкционированное изъятие из каждого передаваемого оптического импульса одного фотона эквивалентно потере 1 % или 10 % мощности передаваемого оптического импульса, если маломощный импульс на передающей стороне содержал 100 или 10 фотонов соответственно. Потерю 1 % от передаваемой мощности обнаружить сложнее, чем потерю 10 % от передаваемой мощности. Потеря 10 % от передаваемой мощности достаточно просто может быть обнаружена при помощи мощных оптических синхроимпульсов: при наличии макроизгиба оптического волокна контролируемая амплитуда синхроимпульса становится меньше некоторого заданного значения, что позволяет выявить наличие несанкционированного доступа к информации и прекратить ее передачу и прием.



### 3.2 Структурная схема устройства

Разработанная структурная схема устройства обнаружения несанкционированного съема данных при передаче информации по волоконно-оптическому каналу связи представлена на рисунке 3.1. При просмотре и анализе структурной схемы необходимо учитывать использовавшиеся при разработке условные обозначения:

И1 и И2 – источники оптического излучения;

СМ – оптический смеситель;

ОВ – оптическое волокно;

Мх – монохроматор;

ФП – фотоприемник;

СФ – счетчик фотонов;

Д – амплитудный дискриминатор.

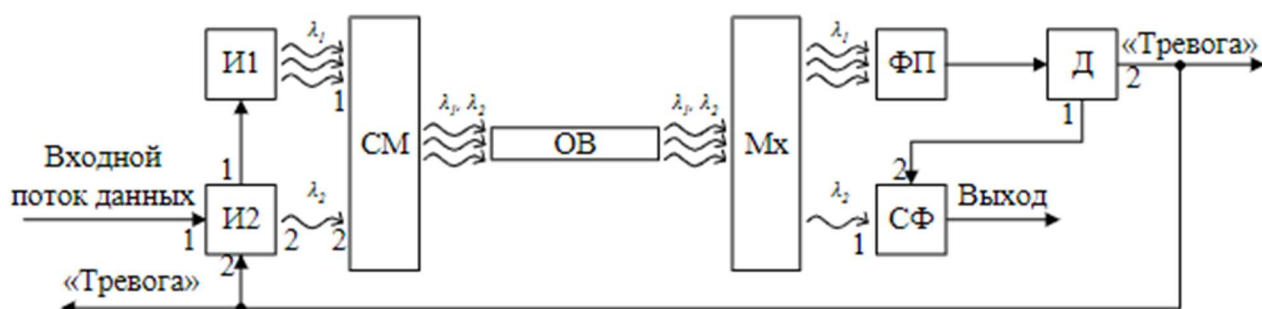


Рисунок 3.1 – Структурная схема устройства обнаружения несанкционированного съема данных при передаче информации по волоконно-оптическому каналу связи

### 3.3 Выводы по разделу 3

Для формирования канала утечки информации наиболее часто создают макроизгибы оптического волокна. При определенной величине макроизгиба ОВ на границе раздела сердцевина-оболочка угол падения оптической волны становится меньше предельного угла, и в месте макроизгиба создается побочное излучение, что может привести к несанкционированному съему передаваемой информации. Для обнаружения несанкционированного сбора менее десяти фотонов оптического излучения следует использовать одноквантовые системы передачи и приема, так как они являются наиболее чувствительными.

#### **4 ОХРАНА ТРУДА. ОБЕСПЕЧЕНИЕ БЕЗОПАСНОСТИ ПРИ ВЫПОЛНЕНИИ РАБОТ ПО СТРОИТЕЛЬСТВУ, МОНТАЖУ И ЭКСПЛУАТАЦИИ ВОЛОКОННО-ОПТИЧЕСКИХ ЛИНИЙ СВЯЗИ**

Волоконно-оптические кабели имеют более низкие предельные нагрузки, чем металлические, и при определенных обстоятельствах могут потребоваться специальные меры предосторожности и мероприятия, позволяющие обеспечить их успешную прокладку.

Это относится, в основном, к изгибам и натяжению оптических кабелей. При строительстве важно обращать особое внимание на рекомендации изготовителя, приведенные в технических условиях, и установленные физические ограничения, а также не превышать заданные нормы нагрузки для любого конкретного кабеля. Повреждение, вызванное чрезмерной нагрузкой в процессе прокладки, может проявиться не сразу, однако оно может привести к отказу в процессе эксплуатации кабеля.

Общая информация, относящаяся к прокладке кабелей электросвязи, приведена в руководстве МСЭ-Т «Технология линейно-кабельных сооружений для сетей общего пользования». В нем содержится только информация особо важного значения или относящаяся исключительно к волоконно-оптическим кабелям линий связи.

В настоящем разделе рассмотрим вопросы, связанные с обеспечением безопасных условий при выполнении работ по строительству и эксплуатации волоконно-оптических линий связи.

В процессе проектирования канала с использованием оптического кабеля особое внимание должно уделяться вопросу обеспечения безопасности жизнедеятельности, так как системы передачи, использующие в качестве направляющей системы оптические волокна, имеют ряд особенностей.

При выполнении работ по строительству, монтажу и эксплуатации волоконно-оптических линий связи необходимо соблюдать следующие рекомендации:

- колесные кабелеукладчики на резиновом ходу независимо от расстояния буксируются к месту работы автомобилем. Тяжелые кабелеукладчики на гусеничном ходу должны перевозиться на тяжеловозных прицепах-трайлерах;

- прокладка кабеля под линиями электропередачи допускается только при условии соблюдения расстояний от кабелеукладчика, с погруженным на него барабаном до проводов линий электропередачи не менее 1,5м при напряжении до 1кВ., 2м. при 1 – 20кВ., 4м. при 35 – 110кВ;

– работы под уступами по обочине дорог и выемках должны выполняться только в защитных касках;

– барабан с кабелем, доставленный к месту работы, должен быть выгружен на ровной местности. При наличии уклона под щеки барабана необходимо подложить упоры так, чтобы исключалась возможность самопроизвольного движения барабана под уклон;

– применять на объектах строительства передвижные монтажно-измерительные лаборатории, представляющие собой автомобиль ЗИЛ-131, на шасси которого установлен кузов закрытого типа;

– в передвижной монтажно-измерительной лаборатории отходы оптического волокна при разделке (сколе) собирать в отдельный ящик, а после окончания монтажа закапывать в грунт;

– избегать попадания остатков оптического волокна на одежду, работу с оптическими волокнами производить в клеенчатом фартуке;

– при монтаже оптического кабеля не допускать скопления горючих газов (особенно в смотровых колодцах кабельной канализации) во избежание возгорания от дугового разряда сварочных устройств. Для определения наличия взрывоопасных газов каждая бригада, работающая в подземных сооружениях, должна иметь газоанализатор, исправность которого проверяется 1 раз в год в специализированных лабораториях.

– в комплексе оборудования используются оптические излучатели, которые по степени опасности генерируемого излучения относятся ко второму классу. Поэтому нельзя допускать попадания лазерного излучения в глаза, как непосредственно с оптического модуля, так и через оптическое волокно, потому что это может привести к повреждению сетчатки глаза;

– растворители, применяемые при снятии защитного покрытия волокон, должны иметь класс опасности не ниже четвертого.

Условия труда работающих на строительстве складываются под воздействием вредных и опасных факторов. Вредные – приводят к профессиональным заболеваниям, опасные – к травматизму.

При строительстве ВОЛС проводят работы по прокладке кабеля как с использованием средств механизации, так и вручную.

В рабочих чертежах на прокладку кабеля на планах расположения трассы кабеля должны указываться опасные места производства работ: пересечения с газопроводами, нефтепроводами и другими продуктопроводами, с силовыми кабелями и магистральными кабелями связи, а также производиться предупреждающие надписи об осторожности проведения работ, на пересечениях кабеля связи с этими подземными коммуникациями.

С целью улучшения условий труда на объектах строительства применяются монтажно-измерительные машины, позволяющие монтажникам и измерителям выполнять сложные и утомительные работы, для чего обеспечивается соответствующее освещение, вентиляция воздуха, надлежащее рабочее место.

При выполнении монтажных работ следует помнить и соблюдать меры безопасности при работах с оптическим кабелем, которые определяются его механическими и геометрическими параметрами.

Опасным фактором при сращивании оптического кабеля является то, что волокна в оптическом кабеле соединяются при помощи сварки электрической дугой с температурой 1800 °С. Сварочный аппарат при сварке необходимо заземлять, все подключения и отключения прибора необходимо осуществлять при снятом напряжении питания, сварка проводить под закрытым кожухом. К работе допускать лиц с квалификационной группой не ниже III и не имеющие медицинских противопоказаний. При монтаже оптических волокон нужно помнить, что дуговой разряд, возникающий между электродами сварочного аппарата, может быть причиной возгорания горючих газов в смотровых устройствах телефонной канализации.

В монтажно-измерительной автомашине отходы оптического волокна при разделке (сколе) необходимо собирать в ящик, а после окончания работ закапывать в грунт. Необходимо также избегать попадания остатков оптического волокна на одежду, работу с волокном производить в клеенчатом фартуке; монтажный стол и пол в монтажно-измерительной автомашине после каждой смены обрабатывать пылесосом и мокрой тряпкой; тряпку отжимать в плотных резиновых перчатках. Также необходимо:

- при механизированной прокладке оптического кабеля в кабельной канализации обеспечивать надежную служебную связь каждого колодца, в котором находится вспомогательный персонал;
- при работе с оптическими тестерами не допускать попадания излучения в глаза;
- чтобы растворители, применяемые при снятии защитного покрытия оптических волокон, имели класс опасности не ниже четвертого;
- чтобы рабочая температура растворителя была ниже температуры его кипения;
- работу по разогреву и заливке гидрофобным заполнителем, кабельных муфт) производить в спецодежде, брезентовых рукавицах и защитных очках;
- разогрев и заливку заполнителя производить в металлической посуде с крышкой, носиком для слива и ручками для переноски.

При работе с машинами и механизмами (кабелеукладочной техникой), ручным вибрационным инструментом вредными факторами являются шум и вибрация. Следовательно, необходимо использовать индивидуальные средства защиты: рукавицы, защитные очки, виброгасящие рукавицы, противошумовые наушники.

Таким образом, самым опасным фактором при строительстве ВОЛС является лазерное излучение, а самым вредным - работа с виброинструментом.

## **5 ТЕХНИКО-ЭКОНОМИЧЕСКОЕ ОБОСНОВАНИЕ РАЗРАБОТКИ И ПРОИЗВОДСТВА УСТРОЙСТВА ОБНАРУЖЕНИЯ НЕСАНКЦИОНИРОВАННОГО СЪЕМА ДАННЫХ ПРИ ПЕРЕДАЧЕ ИНФОРМАЦИИ ПО ВОЛОКОННО-ОПТИЧЕСКОМУ КАНАЛУ СВЯЗИ**

### **5.1 Характеристика устройства обнаружения несанкционированного съема данных при передаче информации по волоконно-оптическому каналу связи**

Устройство обнаружения несанкционированного съема данных при передаче информации по волоконно-оптическому каналу связи – это изобретение, которое позволяет определить съём информации злоумышленником путем внесения локальной неоднородности: макроизгиба оптического волокна, при передаче ее по волоконно-оптическому каналу связи.

Обеспечение конфиденциальности данных, передаваемых по волоконно-оптическому каналу связи, можно отнести к одной из важнейших задач. Устройство обнаружения несанкционированного съема данных при передаче информации по волоконно-оптическому каналу связи относится к способам защиты информации от несанкционированного доступа в волоконно-оптических линиях связи. Достижимым техническим результатом является повышение эффективности защиты информации от несанкционированного доступа.

Данное изобретение может быть внедрено в уже существующую инфраструктуру ведомств или организаций, а также быть применено при первичном проектировании оптоволоконной сети. Прежде всего данное устройство целесообразно для пользователей, работающих с данными, утечка которых недопустима и передающихся по волоконно-оптическому каналу связи.

В отличие от аналогичных, присутствующих на рынке разработок, представленное устройство обнаружения несанкционированного съема данных при передаче информации по волоконно-оптическому каналу связи имеет преимущество в том, что позволяет обнаруживать компенсационный метод съема информации и характеризуется низкой вероятностью ошибочной регистрации данных что обеспечивается за счет передачи пользовательской информации с помощью стандартных оптических импульсов и контроля наличия несанкционированного съема данных с помощью контрольных импульсов.

## 5.2 Формирование отпускной цены

Формирование отпускной цены данного нового изделия, производство которого автоматизировано, происходит без учета затрат на материалы, так как изделие полностью состоит из покупных комплектующих изделий. Расчет затрат на покупные комплектующие изделия, полуфабрикаты, включая стоимость необходимых для изготовления устройства обнаружения несанкционированного съема данных при передаче информации по волоконно-оптической линии связи комплектующих изделий, осуществляется по формуле:

$$P_k = K_{\text{тр}} \cdot \sum_{i=1}^m N_i \cdot C_{\text{отп}i} \quad (5.1)$$

где  $K_{\text{тр}}$  – коэффициент транспортных расходов (принимается равным 1,15);  $m$  – номенклатура применяемых комплектующих;  $N_i$  – количество комплектующих  $i$ -го вида на единицу изделия, нат.ед./шт.;  $C_{\text{отп}i}$  – цена за единицу комплектующего  $i$ -го вида, р.

Таблица 5.1 – Расчет затрат на комплектующие изделия и полуфабрикаты

Наименование комплектующего	Количество на одно изделие, шт.	Цена за единицу комплектующего, руб	Сумма, руб
1. Источник оптического излучения Lanmaster LAN-FT-Y	1	1567,11	1567,11
2. Источник оптического излучения Greenlee DLS360FB	1	6154,65	6154,65
3. Оптический смеситель	1		
4. Монохроматор	1		
5. Лавинный фотоприемник APD310	1	143,88	143,88
6. Счетчик фотонов Hamamatsu H12386	1		
7. Микросхема 448CA1 (Амплитудный дискриминатор)	1	6,02	6,02
<i>Итого</i>			
<i>Всего с учетом транспортных расходов (1,15) (Рк)</i>			

Формирование отпускной цены нового изделия проводится в соответствии с методикой, представленной в табл. 5.2.

Таблица 5.2 – Методика формирования отпускной цены нового изделия на основе полной себестоимости

Показатель	Формула/таблица для расчетов
1. Покупные комплектующие изделия	Формула (5.1), табл. 5.1
2. Накладные расходы	$P_{\text{накл}} = \frac{(P_{\text{м}} + P_{\text{к}}) \cdot N_{\text{накл}}}{100}, \quad (5.1)$ <p>где <math>P_{\text{м}}, P_{\text{к}}</math> – расходы на материалы и комплектующие изделия, р.; <math>N_{\text{накл}}</math> – норматив накладных расходов, % (50)</p>
3. Полная себестоимость	$C_{\text{п}} = P_{\text{м}} + P_{\text{к}} + P_{\text{накл}}$
4. Плановая прибыль	$П_{\text{ед}} = \frac{C_{\text{п}} \cdot P_{\text{пр}}}{100}, \quad (5.1)$ <p>где <math>P_{\text{пр}}</math> – рентабельность продукции (40%)</p>
5. Отпускная цена изделия	$Ц_{\text{п}} = C_{\text{п}} + П_{\text{ед}}$